

# Dissertação de Mestrado

## Problemas de Alocação de Tráfego Sujeitos a Congestionamento

por

**Felipe Figueiredo Cardoso**

Novembro de 2010

Felipe Figueiredo Cardoso

# Problemas de Alocação de Tráfego Sujeitos a Congestionamento

Dissertação apresentada ao Programa de Pós-Graduação em Engenharia Elétrica da Escola de Engenharia da Universidade Federal de Minas Gerais como requisito parcial à obtenção do título de Mestre em Engenharia Elétrica.

Orientador: Frederico R. B. Cruz

Co-orientador: Oriane Magela Neto

Universidade Federal de Minas Gerais  
Belo Horizonte, novembro de 2010

**"Problemas de Alocação de Tráfego Sujeitos a Congestionamento"**

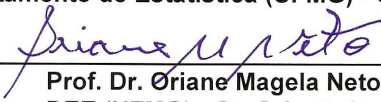
**Felipe Figueiredo Cardoso**

Dissertação de Mestrado submetida à Banca Examinadora designada pelo Colegiado do Programa de Pós-Graduação em Engenharia Elétrica da Escola de Engenharia da Universidade Federal de Minas Gerais, como requisito para obtenção do grau de Mestre em Engenharia Elétrica.


Aprovada em 22 de novembro de 2010.

Por:

  
\_\_\_\_\_  
Prof. Dr. Frederico Rodrigues Borges da Cruz  
Departamento de Estatística (UFMG) - Orientador

  
\_\_\_\_\_  
Prof. Dr. Oriane Magela Neto  
DEE (UFMG) - Co-Orientador

  
\_\_\_\_\_  
Prof. Dr. Hani Camille Yehia  
DELT (UFMG)

  
\_\_\_\_\_  
Prof. Dr. Luiz Henrique Duczmal  
Departamento de Estatística (UFMG)

# Resumo

Examinamos neste trabalho o modelo *System Optimum* de Wardrop (SO) para alocação de tráfego em uma rede de transportes. A formulação SO é equivalente a uma situação em que os usuários cooperam entre si, com o objetivo de minimizar o custo global de deslocamento na rede. Estes custos são normalmente expressos em termos de tempo para o deslocamento e são tipicamente fornecidos por fórmulas clássicas. Neste trabalho, temos como objetivo investigar uma expressão para o tempo de deslocamento que é baseada em redes de filas  $M/G/c/c$  dependentes do estado. Esta nova expressão não é convexa, ao contrário das expressões usuais, possuindo uma forma de  $S$ . Como consequência, o modelo SO pode apresentar soluções ótimas locais múltiplas, o que justifica a utilização de algoritmos heurísticos, em geral, e do algoritmo *Differential Evolution* (DE), em particular. Apresentamos resultados computacionais para mostrar a eficiência e a eficácia da abordagem proposta.

**Palavras-chave:** tráfego, congestionamento, dependência de estado, redes.

# Abstract

In this text, we examine the *Wardrop System Optimum* (SO) problem. The SO formulation is equivalent to a situation in which users cooperate with each other in order to minimize the overall travel cost. Usually, the travel costs are expressed in terms of times and are typically given from classical formulas. In this text we aim to investigate an  $M/G/c/c$  state-dependent queueing network based formula, which is not convex but  $S$ -shaped. As a consequence multiple solutions may be present for the SO, which justifies the use heuristic procedures such as a Differential Evolution (DE) algorithm. Computational results are present to show the efficacy and efficiency of the approach.

**Keywords:** traffic, congestion, state-dependency, networks.

# Sumário

<b>Resumo</b>	<b>iv</b>
<b>Abstract</b>	<b>v</b>
<b>Lista de Figuras</b>	<b>viii</b>
<b>Lista de Tabelas</b>	<b>ix</b>
<b>1 Introdução</b>	<b>1</b>
1.1 Motivação e Definição do Problema . . . . .	1
1.2 Objetivos e Escopo da Dissertação . . . . .	4
1.3 Contribuições . . . . .	5
1.4 Organização da Dissertação . . . . .	5
<b>2 Análise de Desempenho em Redes de Tráfego</b>	<b>7</b>
2.1 Teoria de Filas . . . . .	7
2.2 Modelagem de um Arco Único . . . . .	9
2.3 Modelagem de Redes de Filas - Caso Série . . . . .	12
2.3.1 Estágio 1 - Reconfiguração da Rede . . . . .	13
2.3.2 Estágio 2 - Estimação de Parâmetros . . . . .	14
2.3.3 Estágio 3 - Eliminação da Retro-alimentação e Atualização . . . . .	15

2.4	Modelagem de Redes de Filas - Caso Fusão e Divisão . . . . .	19
2.5	Considerações Finais . . . . .	20
<b>3</b>	<b>Algoritmo de Otimização</b>	<b>21</b>
3.1	Introdução . . . . .	21
3.2	Características do <i>Differential Evolution</i> . . . . .	23
3.3	Algoritmo <i>Differential Evolution</i> . . . . .	24
<b>4</b>	<b>Experimentos Computacionais</b>	<b>29</b>
4.1	Descrição dos Experimentos . . . . .	29
4.2	Resultados e Discussão . . . . .	30
<b>5</b>	<b>Conclusões</b>	<b>36</b>
5.1	Obserações Finais . . . . .	36
5.2	Tópicos para Trabalhos Futuros . . . . .	37
	<b>Referências Bibliográficas</b>	<b>38</b>
<b>A</b>	<b>Códigos em C++</b>	<b>42</b>
<b>B</b>	<b>Arquivo de Definição dos Parâmetros do DE</b>	<b>69</b>
<b>C</b>	<b>Arquivo de Definição dos Serviços</b>	<b>70</b>
<b>D</b>	<b>Arquivo de Entrada</b>	<b>71</b>

# Lista de Figuras

1.1	Algoritmo para alocação de tráfego pelo modelo SO . . . . .	4
2.1	Distribuições empíricas para o tráfego de veículos (Drake et al., 1967; Edie, 1961; Greenshields, 1935; TRB, 1985; Underwood, 1961) e modelos $M/G/c/c$ dependentes do estado (Jain & Smith, 1997) . . . . .	10
2.2	Método da expansão generalizado (GEM) . . . . .	13
2.3	Taxa de chegada externa $\lambda_{\text{ext}}$ . . . . .	15
2.4	Algoritmo de avaliação de desempenho: pré-avaliação . . . . .	17
2.5	Algoritmo de avaliação de desempenho: avaliação . . . . .	18
2.6	Fluxos de veículos em uma pista de uma milha (Cruz et al., 2010) . . . . .	19
3.1	Algoritmo <i>Differential Evolution</i> simples . . . . .	25
4.1	Rede de três trechos e seu correspondente modelo $M/G/c/c$ dependente do estado . . . . .	30
4.2	Congestionamento exponencial (Jain & Smith, 1997) . . . . .	33



# Lista de Tabelas

1.1	Notação básica de redes . . . . .	3
4.1	Configuração da rede de três trechos . . . . .	31
4.2	Alocação ótima de tráfego para a rede de três trechos . . . . .	32
4.3	Variação do parâmetro tamanho da população para a rede de três trechos . . . . .	34
4.4	Variação do parâmetro fator de escala de mutação para a rede de três trechos . . . . .	35
4.5	Variação do parâmetro constante de cruzamento para a rede de três trechos . . . . .	35

# Capítulo 1

## Introdução

### 1.1 Motivação e Definição do Problema

Os problemas de alocação de tráfego ocorrem em várias situações encontrados na sociedade atual.

**Exemplo 1.1** *Um exemplo interessante é o de um sistema para se produzir um automóvel. É necessário um grande número de estações de trabalho, como o almoxarifado para armazenamento de materiais, as diversas linhas de montagem, o centro de inspeção do controle de qualidade e o pátio de armazenagem final, entre outras. Um serviço lento em qualquer uma dessas etapas pode reduzir a utilização de outros centros de trabalho ao longo da linha de produção levando à sua ociosidade (starvation) enquanto espera-se pela próxima entrada. Uma maior eficiência no roteamento pode evitar os ramos congestionados e aproveitar melhor aqueles folgados, ajudando a reduzir importantes medidas de desempenho, tais como o tempo de trabalho (sojourn time), o trabalho em processo (work in process), entre outras.*

Na literatura sobre problemas de alocação de tráfego em uma rede congestionada, dois modelos são comumente empregados, quais sejam o modelo *System Optimum* de Wardrop (SO) e o modelo *User Equilibrium* (UE) (Prashker & Bekhor, 2000). Neste trabalho estaremos interessados apenas no modelo SO, uma vez que ele provê resultados bem sucedidos em redes de transporte. O modelo SO assume que todos os usuários são capazes de cooperar entre si, a fim de minimizar os custos de viagem no sistema como um todo. A notação básica de redes utilizada é apresentada na Tabela 1.1.

O modelo SO é formulado como:

$$\min z(\mathbf{x}) = \sum_a x_a c_a(x_a),$$

sujeito a:

$$\begin{aligned} \sum_k f_k^{rs} &= q^{rs}, \quad \forall r, s, \\ x_a &= \sum_r \sum_s \sum_k f_k^{rs} \delta_k^{rs}, \quad \forall a, \\ f_k^{rs} &\geq 0, \quad \forall k, r, s. \end{aligned}$$

Pode-se demonstrar que a solução ótima é atingida quando são iguais os custos *marginais* de viagem, em cada caminho que transporta algum fluxo positivo, o que em outras palavras é:

$$f_k^{rs} (g_k^{rs} - g^{rs*}) = 0, \quad g_k^{rs} - g^{rs*} \geq 0, \quad \forall r, s,$$

onde  $g_k^{rs}$  é o custo marginal na rota  $k$  e  $g^{rs*}$  é o custo marginal ótimo, ambos entre o par  $r$ - $s$  origem-destino.

Pesquisadores na área de atribuição de tráfego tem sido bem sucedidos na resolução do modelo SO e similares por meio de muitos algoritmos.

Tabela 1.1: Notação básica de redes

Variable	Description
$\mathcal{N}$	conjunto (índices) de nós
$\mathcal{A}$	conjunto (índices) de arcos
$\mathcal{R}$	conjunto de nós origem; $\mathcal{R} \subseteq \mathcal{N}$
$\mathcal{S}$	conjunto de nós destino; $\mathcal{S} \subseteq \mathcal{N}$
$\mathcal{K}_{rs}$	conjunto de caminhos que conecta o par $r$ - $s$ origem-destino ( $O$ - $D$ ); $r \in \mathcal{R}, s \in \mathcal{S}$ ;
$x_a$	fluxo no arco $a$ ; $\mathbf{x} = (\dots, x_a, \dots)$
$c_a(x_a)$	tempo de viagem no arco $a$ ; $\mathbf{c}(\mathbf{x}) = (\dots, c_a(x_a), \dots)$
$f_k^{rs}$	fluxo no caminho $k$ que conecta o par $O$ - $D$ $r$ - $s$ ; $\mathbf{f}^{rs} = (\dots, f_k^{rs}, \dots)$ ; $\mathbf{f} = (\dots, \mathbf{f}^{rs}, \dots)$
$c_k^{rs}$	tempo de viagem no caminho $k$ que conecta o par $r$ - $s$ $O$ - $D$ ; $\mathbf{c}^{rs} = (\dots, c_k^{rs}, \dots)$ ; $\mathbf{c} = (\dots, \mathbf{c}^{rs}, \dots)$
$q^{rs}$	demanda entre origem $r$ e destino $s$ ; $(\mathbf{q})^{rs} = q^{rs}$
$\delta_{a,k}^{rs}$	variável indicadora: $\delta_{a,k}^{rs} = \begin{cases} 1, & \text{se o arco } a \text{ está no caminho } k \text{ entre o par } r\text{-}s \text{ } O\text{-}D, \\ 0, & \text{caso contrário;} \end{cases}$ $(\mathbf{\Delta}^{rs})_{a,k} = \delta_{a,k}^{rs}$ ; $\mathbf{\Delta} = (\dots, \mathbf{\Delta}^{rs}, \dots)$

mos. Resultados animadores foram relatados tanto com algoritmos exatos duais (Hearn & Lawphongpanich, 1990), paralelos (Ho, 1990) e baseados em relaxação lagrangeana (Larsson & Patriksson, 1995), como também com heurísticas (Ceylan & Bell, 2005), incluindo algoritmos evolucionários (Cruz et al., 2010). O algoritmo da Figura 1.1 é baseado em um esquema simples e de fácil implementação. O algoritmo encontra iterativamente as probabilidades de roteamento  $p_a$  e a medida de desempenho da rede (tempo

```

algoritmo
  leia grafo,  $G(\mathcal{N}, \mathcal{A})$ 
  leia taxas de chegadas,  $\lambda_n, \forall n \in \mathcal{N}$ 
  leia comprimento dos arcos,  $l_a, \forall a \in \mathcal{A}$ 
repita
  /* gerar probabilidades de roteamento */
  gerar  $p_a, \forall a \in \mathcal{A}$ 
  /* calcular fluxo e tempo de percurso */
  calcular  $x_a, c_a(x_a), \forall a \in \mathcal{A}$ 
  /* calcular função objetivo */
  calcular  $\sum_a x_a c_a(x_a)$ 
até convergência ser atingida
escrever  $p_a^{(\text{opt})}, \forall a \in \mathcal{A}$ 
fim algoritmo

```

Figura 1.1: Algoritmo para alocação de tráfego pelo modelo SO

de percurso), para a minimização da função objetivo (tempo de percurso total). A heurística de otimização necessita estimar os fluxos e os tempos de viagem correspondentes,  $x_a$  e  $c_a(x_a)$ , respectivamente. Para encontrar estas estimativas, utilizaremos um modelo de redes de filas finitas recentemente proposto na literatura [Cruz et al. \(2010\)](#), conforme descrito nas próximas seções.

## 1.2 Objetivos e Escopo da Dissertação

O objetivo desta dissertação é o estudo de problemas de alocação de tráfego em que os custos de viagem são modelados pela teoria de filas finitas e a alocação ótima é encontrada por meio de algoritmos heurísticos. Para esta

dissertação são utilizadas as filas do tipo  $M/G/c/c$  dependentes do estado, para a modelagem das redes de tráfego. De acordo com a conhecida notação de Kendall (Kendall, 1953),  $M$  representa um processo de chegadas markoviano,  $G$ , tempos de serviço com distribuição geral (e, neste caso, dependentes do estado),  $c$  é o número de servidores em paralelo e o  $c$  final é a capacidade total do sistema, *incluindo* aqueles itens em serviço, o que é equivalente a dizer que não há áreas de espera (do inglês, *buffers*). O algoritmo heurístico de otimização utilizado é o conhecido *Differential Evolution* (DE), adaptado especialmente para o problema de alocação de tráfego aqui tratado.

### 1.3 Contribuições

Dentre as principais contribuições desta dissertação, podemos citar:

- apresentação de uma revisão bibliográfica na área, incluindo os trabalhos mais relevantes e mais recentemente publicados nesta linha de pesquisa;
- apresentação e discussão dos modelos de tempos de percurso;
- apresentação do algoritmo DE;
- condução e análise de experimentos computacionais com redes de transporte.

### 1.4 Organização da Dissertação

Esta dissertação está organizada da seguinte forma. No Capítulo 2 apresentamos conceitos fundamentais sobre a análise de desempenho em redes de tráfego. No Capítulo 3 apresentamos o algoritmo de otimização DE. No

Capítulo 4 apresentamos os resultados computacionais da validação do algoritmo de otimização DE. No Capítulo 5 são apresentadas as conclusões sobre a dissertação.

## Capítulo 2

# Análise de Desempenho em Redes de Tráfego

### 2.1 Teoria de Filas

Teoria das filas é um ramo do conhecimento, dentro da área de probabilidade, que lida com as filas de espera por meio de modelos matemáticos que descrevem o comportamento destes sistemas. Uma fila ocorre sempre que a procura por um determinado serviço é maior que a capacidade de o sistema prover este serviço. O modelo teórico é formado por servidores e filas de espera interligados. Os servidores provêm os serviços aos clientes que estão presentes nas filas e aqueles clientes que estão esperando pelo serviço são ditos estar na fila de espera.

Existem diversas aplicações da teoria das filas, que podem ser encontradas na literatura de probabilidade, pesquisa operacional e engenharia industrial, tais como controle de tráfego de aviões, escalonamento de processos em um sistema operacional e prestação de serviços em bancos. Os modelos de filas de espera consistem em expressões e relações matemáticas que podem ser usadas



para determinar as características de operação (ou medidas de desempenho) para uma fila de espera. Características de operação de interesse incluem a probabilidade de o sistema estar vazio, o número médio de pessoas na fila, o número médio de pessoas no sistema (a soma das pessoas em espera com aqueles em serviço), tempo médio de espera no sistema, entre outros. Engenheiros e administradores que possuem tal informação estão em melhor posição para uma tomada de decisão que balanceie o nível desejado de serviço com o custo de prover este serviço.

De acordo com a notação de [Kendall \(1953\)](#) um sistema de filas pode ser descrito por até seis características, de acordo com a seguinte notação  $A/S/m/K/N/Q$ :

**A - Processo de chegada:** Indica qual o padrão de chegada dos clientes.

Pode ser determinístico, porém na maioria das aplicações é estocástico sendo representado por alguma distribuição, como a de Poisson ou a de Erlang.

**S - Distribuição do tempo de serviço:** Indica o padrão do serviço oferecido pelos servidores. Também pode ser determinístico ou estocástico, bem como pode atender clientes individualmente ou em grupos.

**m - Número de servidores:** É o total de servidores que podem atender os clientes simultaneamente.

**K - Capacidade do sistema:** É o número máximo de clientes que o sistema suporta, isto é, *incluindo* aqueles que estão em serviço.

**N - Tamanho da população:** É o número de clientes potenciais que podem chegar ao sistema. Em muito casos, como aqui, é considerado

infinito (isto é, a população é aberta, em oposição às populações fechadas).

**Q - Disciplina de atendimento:** Define a regra para o atendimento de clientes. Duas políticas comuns são *primeiro a entrar primeiro a sair* (do inglês, *fist-in-fist-out*, FIFO) e fila de prioridades. Será considerada aqui a disciplina FIFO.

## 2.2 Modelagem de um Arco Único

Uma fila  $M/G/c/c$  dependente do estado pode ser considerado um sistema adequado para descrever uma via simples em uma rede de transporte (Yuhaski & Smith, 1989). De fato, resultados empíricos comprovam que o tempo de serviço em uma rede de tráfego depende do número de usuários presentes no sistema (vide Figura 2.1). O número de servidores pode ser considerado igual à capacidade do sistema (número de clientes que ele suporta). Logo, não existe espaço de espera.

As probabilidades limites para o número aleatório  $N$  de entidades em um modelo de fila  $M/G/c/c$  dependente do estado,  $p_n \equiv \Pr[N = n]$ , são dadas por:

$$p_n = \left\{ \frac{[\lambda E[T_1]]^n}{n! f(n) f(n-1) \cdots f(2) f(1)} \right\} p_0,$$

em que  $n = 1, 2, \dots, c$ , com  $c$  igual à capacidade do sistema,  $\lambda$  é a taxa de chegada,  $E[T_1] = l/V_1$  é o tempo de serviço esperado para um veículo que trafega sozinho em um arco de comprimento  $l$ , considerando que  $V_1$  é a velocidade de um veículo trafegando livre (sem redução na velocidade, causada por congestionamento),  $p_0$  é a probabilidade de o sistema estar vazio

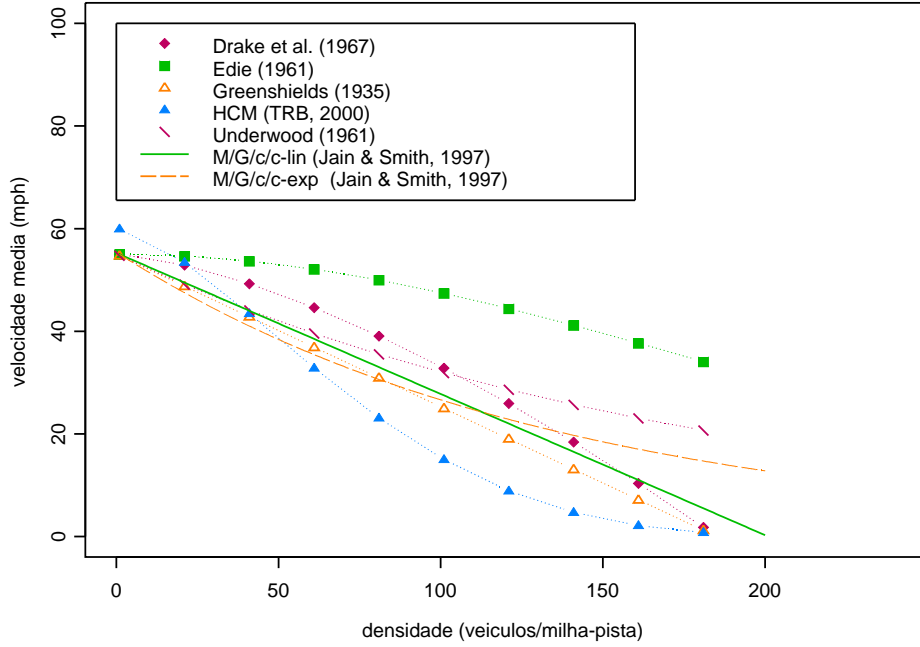


Figura 2.1: Distribuições empíricas para o tráfego de veículos (Drake et al., 1967; Edie, 1961; Greenshields, 1935; TRB, 1985; Underwood, 1961) e modelos  $M/G/c/c$  dependentes do estado (Jain & Smith, 1997)

e  $f(n)$  é a taxa de serviço.

A expressão abaixo define  $p_0$ :

$$p_0^{-1} = 1 + \sum_{i=1}^c \left\{ \frac{[\lambda E[T_1]]^i}{i! f(i) f(i-1) \cdots f(2) f(1)} \right\}.$$

A capacidade do sistema,  $c$ , é dada por:

$$c = \lfloor k l w \rfloor,$$

em que  $l$  é o comprimento do arco (em milhas),  $w$  é a largura (em número

de pistas),  $k$  é a capacidade deste arco (por unidade de comprimento por pista) e  $\lceil x \rceil$  é o maior inteiro não superior a  $x$ . Considerando aplicações relacionadas ao tráfego de veículos,  $k$  representa o parâmetro de densidade de tráfego (em veículos/milha-pista), situando-se normalmente entre 185-265 veículos/milha-pista.

Finalmente, a taxa de serviço é definida como  $f(n) = V_n/V_1$ , isto é, a razão da velocidade média de  $n$  veículos e a velocidade de um veículo que trafega livre. O objetivo é representar o efeito de decaimento da taxa de serviço com o aumento do número de usuários no sistema. Dentre os modelos possíveis, o modelo exponencial apresenta resultados satisfatórios. Ele pode ser definido por:

$$f(n) = \exp \left[ - \left( \frac{n-1}{\beta} \right)^\gamma \right],$$

com

$$\gamma = \log \left[ \frac{\log(V_a/V_1)}{\log(V_b/V_1)} \right] / \log \left( \frac{a-1}{b-1} \right),$$

e

$$\beta = \frac{a-1}{[\log(V_1/V_a)]^{1/\gamma}} = \frac{b-1}{[\log(V_1/V_b)]^{1/\gamma}}.$$

Os valores  $a$  e  $b$  são pontos arbitrários usados para ajustar a curva exponencial. Em aplicações relacionadas ao tráfego de veículos, valores comuns são  $a = 20lw$  e  $b = 140lw$ , que correspondem às densidades de 20 e 140 veículos/milha-pista respectivamente. Valores razoáveis para estes pontos são  $V_a = 48$  mph e  $V_b = 20$  mph, conforme pode ser conferido na Figura 2.1.

As medidas de desempenho são deduzidas diretamente das probabilidades limite e são:

$$\left\{ \begin{array}{l} p_c = \Pr[N = c], \\ \theta = \lambda(1 - p_c), \\ L = E[N] = \sum_{n=1}^c np_n, \\ W = E[T] = L/\theta, \end{array} \right.$$

onde  $p_c$  é a probabilidade de bloqueio,  $\theta \equiv x_a$  é a vazão em veículos/h,  $L$  é o número esperado de veículos no arco e  $W \equiv c_a(x_a)$ , aqui obtida pela *Lei de Little*, é o tempo de serviço esperado (em horas).

Uma observação importante é que a Lei de Little relaciona o número médio de clientes no sistema com o tempo médio despendido nele. O número médio de clientes é igual a taxa de chegada multiplicada pelo tempo médio de resposta ( $L = \theta \times W$ ). Por sua vez, o tempo médio no sistema é igual ao número médio de clientes no sistema dividido pela taxa de chegada ( $W = L/\theta$ ). Esta lei se aplica sempre que a entrada de clientes (excluídos aqueles bloqueados) é equivalente à saída.

## 2.3 Modelagem de Redes de Filas - Caso Série

Note que o problema está resolvido apenas parcialmente. A dedução de medidas de desempenho para filas  $M/G/c/c$  dependentes do estado *configuradas em redes* é uma tarefa consideravelmente mais complexa, devido às probabilidades de roteamento que irão definir a entrada em cada fila e por causa dos efeitos de bloqueio mútuo. O método da expansão generalizado (GEM, do inglês *Generalized Expansion Method*) é uma ferramenta que foi proposta por [Kerbach & Smith \(1987\)](#), ainda nos anos 1980, com a finalidade de estimar aproximadamente medidas de desempenho de redes de filas

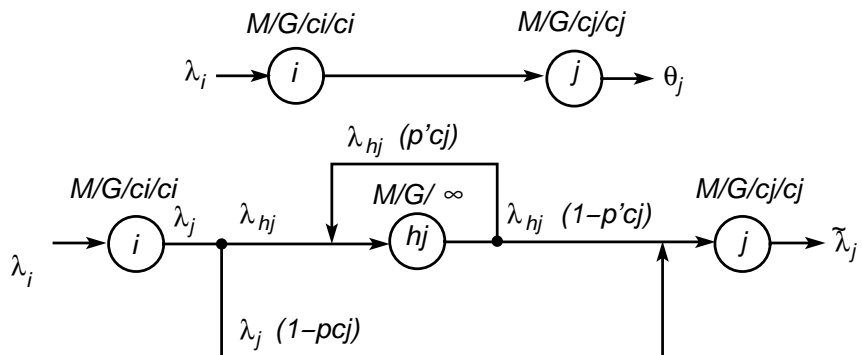


Figura 2.2: Método da expansão generalizado (GEM)

finitas. O método tem uma longa tradição nesta área e é uma combinação de métodos de tentativas repetidas e decomposição nó-a-nó, com a característica chave de adicionar um nó de espera artificial precedendo cada fila finita na rede, a fim de registrar consumidores bloqueados que tentam entrar neste nó finito, mas que são impedidos porque ele está com a sua capacidade esgotada. A Figura 2.2 mostra o exemplo de dois trechos de estrada, configurados em série, com a correspondente rede de filas. Pela adição do nó de espera, a rede de filas é expandida em uma rede de Jackson equivalente, na qual cada nó pode então ser decomposto e analisado separadamente, de maneira aproximada. Descrevemos brevemente agora o GEM, para filas em série.

O GEM consiste de três estágios que são realizados por cada nó finito na rede de filas original.

### 2.3.1 Estágio 1 - Reconfiguração da Rede

Para cada nó com capacidade finita, um nó artificial é adicionado precedendo-o diretamente, como mostra a Figura 2.2. Usuários que estão impe-

didados de moverem-se para o nó à frente (porque este nó está na sua capacidade máxima) são roteados para o nó artificial. A probabilidade de um usuário recém-chegado ser bloqueado pelo nó  $j$  é igual a  $p_{c_j}$ . Assim, com a probabilidade  $(1 - p_{c_j})$ , este usuário irá entrar no nó  $j$ . Logo, com a probabilidade  $p_{c_j}$ , ele irá entrar no nó de espera ( $h_j$ ). O nó de espera é modelado como uma fila  $M/G/\infty$  (logo, não existe espera para entrar neste nó).

Depois do serviço no nó  $h_j$ , o usuário poderá ser bloqueado novamente, com uma probabilidade,  $p'_{c_j}$ . Assim, com probabilidade  $(1 - p'_{c_j})$ , ele se dirigirá ao nó seguinte. Se bloqueado, o usuário deve refazer o caminho através do laço de retro-alimentação e voltar ao nó artificial,  $h_j$ , para um segundo período de atraso.

### 2.3.2 Estágio 2 - Estimação de Parâmetros

O valor de  $p_{c_j}$  pode ser determinado por resultados analíticos conhecidos. Para filas  $M/G/c/c$  dependentes do estado, este valor é dado diretamente pelas medidas de desempenho, isto é,  $p_{c_j} = \Pr\{N = c_j\}$ .

Já o valor de  $p'_{c_j}$ , isto é, a probabilidade de um usuário completar sua primeira visita ao nó de espera (devido ao bloqueio do nó subsequente) e precisar de uma segunda visita (para um atraso adicional causado por um novo bloqueio) é determinado por métodos aproximados. Uma aproximação bastante eficaz, via técnicas de difusão ([Labetoulle & Pujolle, 1980](#)), é dada por:

$$p'_{c_j} = \left\{ \frac{\mu_j + \mu_{h_j}}{\mu_{h_j}} - \frac{\lambda[(r_2^{c_j} - r_1^{c_j}) - (r_2^{c_j-1} - r_1^{c_j-1})]}{\mu_{h_j}[(r_2^{c_j+1} - r_1^{c_j+1}) - (r_2^{c_j} - r_1^{c_j})]} \right\}^{-1}, \quad (2.1)$$

em que  $r_1$  e  $r_2$  são as raízes de:

$$\lambda_{\text{ext}} - (\lambda_{\text{ext}} + \mu_{h_j} + \mu_j)x + \mu_{h_j}x^2 = 0. \quad (2.2)$$

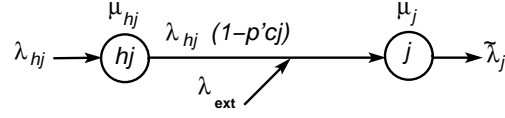


Figura 2.3: Taxa de chegada externa  $\lambda_{\text{ext}}$

Definida com a ajuda da Figura 2.3, a taxa de chegada externa  $\lambda_{\text{ext}}$ , usada na Eq. (2.2), é dada por:

$$\begin{cases} \lambda_{\text{ext}} &= \tilde{\lambda}_j - \lambda_{h_j}(1 - p'_{c_j}), \\ \tilde{\lambda}_j &= \lambda_j(1 - p_{c_j}), \\ \lambda_{h_j} &= \lambda_j(p_{c_j}), \\ \lambda_j &= \lambda_i(1 - p_{c_i}) = \tilde{\lambda}_i. \end{cases} \quad (2.3)$$

Usando a teoria da renovação, pode ser mostrado que a taxa de serviço do nó de espera (no caso exponencial) é dada por (Kleinrock, 1975):

$$\mu_{h_j} = \frac{2\mu_j}{1 + \sigma_j^2\mu_j^2}, \quad (2.4)$$

em que  $\sigma_j^2$  é a variância do tempo de serviço. Porém, devido à taxa de serviço ser dependente do estado, uma suposição razoável é considerar o pior caso:

$$\mu_{h_j} = \mu_j \approx \frac{c_j}{E[T_1]/f(c_j)}, \quad (2.5)$$

em que  $c_j$  é o número máximo de servidores em paralelo e  $E[T_1]/f(c_j)$  é o tempo de serviço para  $c_j$  ocupantes.

### 2.3.3 Estágio 3 - Eliminação da Retro-alimentação e Atualização

A reconfiguração do nó de espera é executada para remover as fortes dependências nos processos de chegada causadas pelas visitas repetidas (retro-



alimentação) ao nó artificial. O laço de retro-alimentação pode ser removido do nó de espera pela atualização da sua taxa de serviço, como se segue:

$$\mu'_h = (1 - p'_{c_j})\mu_{h_j}. \quad (2.6)$$

Finalmente, o tempo médio de serviço a que um usuário está submetido na fila  $i$ , precedente a uma fila finita  $j$ , pode ser corrigido pela seguinte expressão:

$$\tilde{\mu}_i^{-1} = \mu_i^{-1} + p_{c_j}(\mu'_h)^{-1}. \quad (2.7)$$

A Eq. (2.7) representa o passo final do GEM. O objetivo principal é fornecer um esquema de aproximação para atualizar as taxas de serviço em filas sucedidas por filas finitas, de modo a levar em conta todo o bloqueio causado após o serviço.

Uma implementação do GEM pode ser vista no algoritmo iterativo apresentado nas Figuras 2.4 e 2.5, recentemente proposto por Cruz & Smith (2007), quando foi usado pela primeira vez no contexto de modelagem de tráfego de veículos.

Primeiro, uma pré-avaliação é realizada, Figura 2.4. O algoritmo de avaliação de desempenho escolhe um nó arbitrário,  $j$ , do conjunto  $\mathcal{N}$ , mas não do conjunto  $Q$  (no qual  $Q$  é o conjunto de nó já avaliados). Assim, para todo arco  $(i, j) \equiv a \in \mathcal{A}$  para o qual a extremidade  $i$  já tenha sido previamente avaliada, o nó  $j$  (a outra extremidade) tem calculada sua probabilidade de bloqueio  $p_k^{(j)}$  e sua taxa de chegada, pela expressão:

$$\theta_j = \lambda_j \times \left(1 - p_k^{(j)}\right).$$

```

algoritmo
  obter as probabilidades de roteamento,  $p_{ij}$ ,  $\forall (i, j) \equiv a \in \mathcal{A}$ 
  inicializar conjunto de nós etiquetados,  $P \leftarrow \emptyset$ 
  enquanto  $P \neq \mathcal{N}$ 
    escolher  $j$  tal que  $(j \in \mathcal{N})$  e  $(j \notin P)$ 
    se  $\{i \mid (i, j) \in \mathcal{A}\} \subseteq P$  então
      /* calcular medidas de performance */
       $E[T_1]_j \leftarrow l_j/V_1$ 
      calcular  $\Pr[N = c_j]$ 
      calcular  $\theta_j$ 
      calcular  $L_j, W_j$ 
      /* informação para frente para sucessores */
      para  $\forall k \in \{k' \mid (j, k') \in \mathcal{A}\}$ 
         $\lambda_k \leftarrow \lambda_k + \theta_j p_{jk}$ 
      fim para
      /* etiquetar nó como pré-avaliado */
       $P \leftarrow P \cup \{j\}$ 
    fim se
  fim enquanto
fim algoritmo

```

Figura 2.4: Algoritmo de avaliação de desempenho: pré-avaliação

Estas taxas de serviços são então passadas à frente, como taxas de chegada para os nós anteriores (se eles existirem), e o nó  $j$  é incluído no conjunto  $Q$ . Note que o passo de pré-avaliação é uma variante do algoritmo de caminho mínimo de [Dijkstra \(1959\)](#).

O algoritmo também inclui um passo de avaliação, Figura 2.5. Esta segunda parte do algoritmo procura a conservação de fluxo, definida por:

```

algoritmo
  inicializar o conjunto de nós etiquetados,  $P \leftarrow \emptyset$ 
  inicializar máxima passagem pelos nós,  $\theta_i^{\max} \leftarrow \infty, \forall i \in \mathcal{N}$ 
enquanto  $P \neq V$ 
  escolher  $i$  tal que  $(i \in \mathcal{N})$  e  $(i \notin P)$ 
se  $\{j \mid (i, j) \in \mathcal{A}\} \subseteq P$  então
  /* atualizar medidas de performance */
   $E[T_1]_i^* \leftarrow \min E[T_1]_i$ 
  s.a.:  $\theta_i \leq \theta_i^{\max},$ 
   $E[T_1]_i \geq l_i/V_1$ 
  calcular  $\Pr[N = c_i], \theta_i, L_i, W_i$ 
  /* propagar de volta para predecessores */
para  $\forall k \in \{k' \mid (k', i) \in \mathcal{A}\}$ 
  atualizar  $\theta_k^{\max}$ 
fim para
  /* etiquetar nó como avaliado */
   $P \leftarrow P \cup \{k\}$ 
fim se
fim enquanto
fim algoritmo

```

Figura 2.5: Algoritmo de avaliação de desempenho: avaliação

$$\theta_j \leq \lambda_j + \sum_{\forall i \mid (i,j) \in \mathcal{A}} \theta_i p_{ij}, \forall j \in \mathcal{N}.$$

É interessante observar que a etapa de avaliação é o algoritmo de [Dijkstra \(1959\)](#), trabalhando em reverso. Note-se também que o algoritmo de avaliação de desempenho deve ter disponível as probabilidades de roteamento  $p_a$ , antes que possa calcular todas as medidas de performance. Para o cálculo de  $p_a$  é usado o algoritmo *Differential Evolution*, a ser apresentado no Capítulo 3.

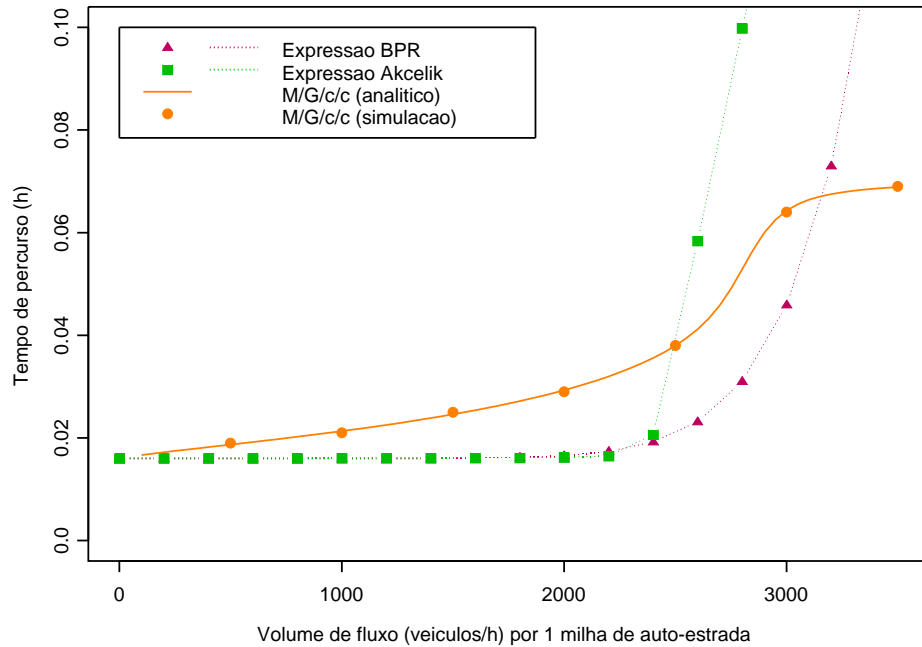


Figura 2.6: Fluxos de veículos em uma pista de uma milha (Cruz et al., 2010)

## 2.4 Modelagem de Redes de Filas - Caso Fusão e Divisão

Similarmente, o GEM pode ser estendido a redes em topologia fusão e divisão. Detalhes não serão dados aqui, mas podem ser facilmente encontrados na literatura (Jain & Smith, 1997). É importante ressaltar que as redes não são modificadas fisicamente. Os nós de espera são apenas nós artificiais incluídos no *software*, para possibilitar a análise aproximada do desempenho.

## 2.5 Considerações Finais

Em conclusão, para um dado vetor de probabilidade de roteamento,  $\mathbf{p}$ , não é difícil estimar a correspondente medida de desempenho de interesse,  $\sum_a x_a c_a(x_a)$ , que é a função objetivo a ser minimizada. O problema é que o uso de tempos de viagens dependentes do estado complicam o problema de otimização. De fato, como visto na Figura 2.6, as funções típicas de tempo de percurso (funções do tipo BPR, veja [Bureau of Public Roads, 1964](#); [Akçelik, 1991](#)) diferem consideravelmente da função de percurso deduzida dos modelos de redes de filas  $M/G/c/c$  dependentes do estado, especialmente sob tráfego pesado. Quando o tráfego é leve (abaixo de 1.000 veículos/hora), a abordagem via filas finitas é até próxima das funções clássicas, mas prevê saturação nas curvas de tempo de percurso (em forma de  $S$ ), o que representa sérios problemas para qualquer algoritmo de otimização.

# Capítulo 3

## Algoritmo de Otimização

### 3.1 Introdução

Na matemática, a programação não-linear ([Mateus & Luna, 1986](#)) é o processo de resolver um sistema de equações e inequações, denominadas restrições, sobre um conjunto de variáveis, com uma função objetivo a ser maximizada ou minimizada, em que uma ou mais restrições ou função-objetivo são não-lineares.

**Exemplo 3.1** *Um exemplo de problema de programação não-linear é a formulação seguinte:*

$$\min f(\mathbf{x}) = x_1^2 + x_2^2 + 2x_2,$$

*sujeito a:*

$$\begin{aligned}h_1(\mathbf{x}) &= x_1^2 + x_2^2 - 1 = 0, \\g_2(\mathbf{x}) &= x_1 + 2x_2 - 0.5 \leq 0, \\g_3(\mathbf{x}) &= x_1 \leq 0, \\g_4(\mathbf{x}) &= x_2 \leq 0.\end{aligned}$$

*Neste exemplo, a função-objetivo e a restrição de igualdade são não-lineares.*

Existem diversos métodos para a resolução de problemas não-lineares. Alguns destes métodos são:

- busca unidirecional;
- minimização irrestrita (gradiente, Newton, quase-Newton);
- método das penalidades;
- método de barreira;
- primais;
- decomposição;
- algoritmos genéticos.

Neste trabalho é utilizado o algoritmo de otimização *Differential Evolution* (DE), pertencente à classe dos algoritmos genéticos, para resolução do modelo SO. As características do algoritmo DE são detalhadas nas próximas seções.

## 3.2 Características do *Differential Evolution*

O algoritmo genético de *annealing* (Price, 1994) foi o começo do algoritmo DE. O primeiro artigo sobre o *annealing* genético foi publicado em 1994. Trata-se de um algoritmo combinacional, baseado em populações, que realiza um critério de *annealing* (busca através de perturbações nas soluções). Price foi contatado por Storn, o qual tinha interesse no algoritmo *annealing*. Price modificou o algoritmo de *annealing* para utilizar números reais e operações aritméticas (mutação diferencial), em lugar de uma cadeia de bits e de operações lógicas. Assim o algoritmo *annealing* passou de um algoritmo combinacional para um otimizador contínuo. Ambos detectaram que a mutação diferencial combinada com o cruzamento aleatório e seleção por adequabilidade não necessitava do fator de *annealing*. Então o mecanismo de *annealing* foi removido e o algoritmo obtido é o *Differential Evolution*. As seguintes características do DE, válidas para problemas de otimização de espaço contínuo (Storn & Price, 1997), o justificam como um método de solução apropriado para a resolução do modelo SO:

- é simples, rápido e robusto;
- possui capacidade de otimização global elevada;
- pode ser implementado facilmente em um ambiente de computação paralela, o que acelera o processo de otimização;
- é efetivo em otimização não linear e pode ser facilmente adaptado para otimização com parâmetros mistos;
- não requer uma função objetivo diferenciável;
- opera em superfícies planas;



- pode prover múltiplas soluções em uma única execução.

O DE é uma versão de algoritmo genético, da classe dos algoritmos evolucionários (AE), que são baseados no princípio da sobrevivência do mais apto. Isto é basicamente um algoritmo de otimização e busca computadorizada baseada em populações. O DE difere de um AE na forma de uma mutação diferencial. Em um algoritmo evolucionário a mutação é baseada na saída de uma função de distribuição pré-definida, enquanto o DE usa a diferença de vetores-objeto aleatoriamente amostrados. Ao invés de usar apenas informação local de cada vetor-objeto (indivíduos da população), o DE muta todos os vetores-objeto com a mesma probabilidade. Deste modo o espaço de busca é coberto na tentativa de encontrar um ótimo global.

O método é definido como um método de busca direta e paralela que opera em uma população  $P_G$  de tamanho constante que é associada com cada geração  $G$  e consiste de  $NP$  vetores, ou soluções candidatas,  $X_{pG}, p = 1, 2, \dots, NP$ . Cada vetor  $X_{pG}$  consiste de  $D$  variáveis de decisão  $X_{o,p,G}, o = 1, 2, \dots, D$ . Os detalhes do algoritmo DE são apresentados na próxima seção.

### 3.3 Algoritmo *Differential Evolution*

A variação dos parâmetros do DE é definida pela notação  $DE/x/y/z$  (Price & Storn, 2010), em que  $x$  especifica o vetor a sofrer mutação (**rand**, vetor escolhido aleatoriamente na população, ou **best**, o vetor com menor custo da população atual),  $y$  é o número de vetores-diferença usados e  $z$  especifica o esquema de cruzamento (**bin**, cruzamento através de experimentos binomiais independentes, ou **exp**, cruzamento através de experimentos exponencias). O algoritmo DE pode ser visto na Figura 3.1.

Um algoritmo DE simples (ver Figura 3.1) pode ser descrito pelos passos

```

algoritmo
  inicializar:
     $D$  - dimensão do problema
     $NP, F, Cr$  - parâmetros de controle
     $GEN$  - condição de parada
     $L, H$  - limite das restrições
    /* inicializar população */
     $Pop_{ij} \leftarrow rand_{ij}[L, H]$ 
    /* avaliar adequabilidade */
     $Fit_j \leftarrow f(Pop_j) \forall j$ 
  para  $g = 1$  até  $GEN$  fazer
    para  $j = 1$  até  $NP$  fazer
      /* escolher índices aleatórios */
       $r_{1,2,3} \in [1, \dots, NP], r_1 \neq r_2 \neq r_3 \neq j$ 
      /* criar indivíduo tentativa */
       $X \leftarrow S(r, F, Cr, Pop)$ 
      /* verificar limites das restrições */
      se  $(x_i \notin [L, H])$  então
         $x_i \leftarrow rand[L, H]$ 
      fim se
      /* selecionar melhor solução */
      se  $(f(X_j) > Fit_j)$  então
         $Pop_j \leftarrow X_j$ 
         $Fit_j \leftarrow f(X_j)$ 
      fim se
    fim para
  fim para
fim algoritmo

```

Figura 3.1: Algoritmo *Differential Evolution* simples

a seguir (Feoktistov, 2006).

- (1) **Escolher uma estratégia:** É escolhida uma estratégia de acordo com a notação  $DE/x/y/z$ .
- (2) **Inicializar os parâmetros-chave de configuração:** Os parâmetros de controle definidos pelo usuário, os quais permanecem constante durante o processo de busca são a constante de cruzamento  $CR$ , o tamanho da população  $NP$ , o fator de escala de mutação  $F$  e o máximo número de gerações  $G_{\max}$ .
- (3) **Inicializar a população:** A população inicial é escolhida aleatoriamente entre os limites dos parâmetros que são definidos pelas restrições. Deve cobrir todo o espaço de busca.
- (4) **Avaliar a adequabilidade:** Cada vetor tem avaliada sua adequabilidade e é encontrado aquele com a maior adequabilidade.
- (5) **Executar mutação:** O DE gera novos vetores (vetores mutantes) pela adição da diferença ponderada entre dois ou mais vetores a um terceiro vetor (vetores alvo). Esta operação é denominada mutação. A mutação pretende manter uma população robusta e procurar uma nova área.

A mutação gera uma população de vetores de acordo com a equação:

$$v_{i,G+1} = x_{r_1,G} + F \times (x_{r_2,G} - x_{r_3,G}),$$

em que  $v_{i,G+1}$  é o vetor mutante,  $x_{i,G}$ , para  $i = 1, 2, 3, \dots, NP$ , é o vetor alvo,  $r_1, r_2, r_3 \in \{1, 2, 3, \dots, NP\}$  são os índices aleatórios e  $F \in [0, 2]$  é o fator de escala de mutação.

- (6) **Executar cruzamento:** Os parâmetros dos vetores mutantes são misturados com parâmetros de vetores predeterminados, os vetores alvo, determinando a operação de cruzamento com a criação dos vetores tentativa. A constante de cruzamento controla a probabilidade de um vetor tentativa vir de um vetor mutante ou do vetor corrente (vetor alvo) e assim varia entre 0 e 1.

O vetor tentativa gerado pelo cruzamento é definido pelas equações:

$$u_{i,G+1} = (u_{1i,G+1}, u_{2i,G+1}, \dots, u_{Di,G+1}),$$

$$u_{ji,G+1} = \begin{cases} v_{ji,G+1}, & \text{if } \mathbf{rand}() \leq CR, \\ x_{ij,G}, & \text{if } \mathbf{rand}() > CR, \end{cases}$$

em que  $u_{i,G+1}$  é o vetor tentativa,  $\mathbf{rand}() \in [0, 1]$  é um número aleatório com distribuição uniforme e  $CR \in [0, 1]$  é a constante de cruzamento.

- (7) **Checar os limites superior e inferior das variáveis:** Os parâmetros dos vetores tentativa devem ser checados para as condições de limite. Se um parâmetro excede alguma restrição de limite, um caminho é selecionar um novo valor aleatório porém adequado.
- (8) **Executar seleção:** Para selecionar os vetores da próxima geração, cada vetor tentativa deve ser avaliado pela função objetivo e comparado com o valor da função objetivo do vetor alvo. Se a adequabilidade do vetor tentativa é maior que a adequabilidade do vetor alvo, o vetor tentativa passa a ser o novo vetor alvo, caso contrário o vetor alvo é retido para próxima geração. Como resultado todos os indivíduos da próxima geração são tão bons ou melhores que suas contra partes na geração atual.

A seleção é determinada pela equação:

$$x_{i,G+1} = \begin{cases} x_{i,G}, & \text{se } f(x_{i,G}) \geq f(u_{i,G+1}), \\ u_{i,G+1}, & \text{se } f(x_{i,G}) < f(u_{i,G+1}), \end{cases}$$

em que  $x_{i,G+1}$  é o vetor alvo da próxima geração,  $f(x_{i,G})$  é a função de adequabilidade para o vetor alvo e  $f(u_{i,G+1})$  é a função de adequabilidade para o vetor tentativa.

- (9) **Repetir até a parada:** O ciclo evolucionário, passos (4) a (8), são executados até que a condição de parada seja atingida.

# Capítulo 4

## Experimentos Computacionais

### 4.1 Descrição dos Experimentos

Todos os algoritmos descritos anteriormente foram codificados em C++, pela sua eficiência e flexibilidade. O programa está disponível no Apêndice A, para fins educacionais e de pesquisa. Os parâmetros do DE são definidos de acordo com o Apêndice B. Os experimentos foram conduzidos em um computador pessoal, rodando o sistema operacional Windows® Vista.

A rede utilizada nos nossos experimentos pode ser vista na Figura 4.1. Esta é uma rede bastante simples, composta de três trechos de estrada. Os pontos  $A$  e  $B$  são conectados pelo trecho  $a_1$  e dois trechos alternativos,  $a_2$  and  $a_3$ . Uma destas rotas é mais longa (e, conseqüentemente, mais lenta) do que a outra. O ajuste do modelo  $M/G/c/c$  dependente do estado é apresentado na Tabela 4.1 e os respectivos arquivos de definição encontram-se no Apêndice C. O algoritmo foi rodado para a rede de três trechos, para diferentes taxas de chegada  $\lambda$ . Pode ser visto no Apêndice D o arquivo de entrada para o caso  $\lambda = 500$ .

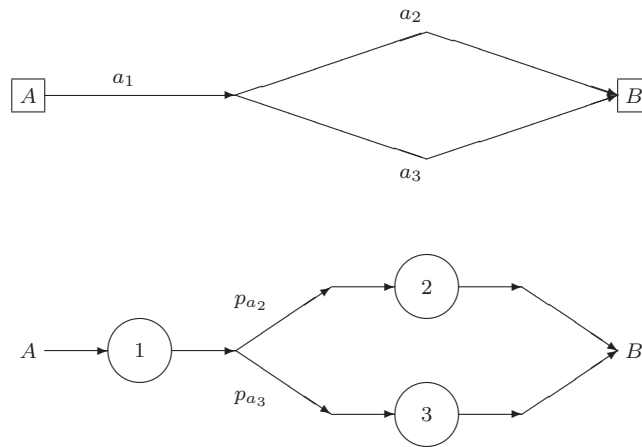


Figura 4.1: Rede de três trechos e seu correspondente modelo  $M/G/c/c$  dependente do estado

## 4.2 Resultados e Discussão

Os resultados obtidos podem ser vistos na Tabela 4.2. Quando a taxa de chegada é nula, temos que o tempo esperado de percurso é igual ao tempo esperado para um único ocupante no sistema, que é a soma dos tempos esperados para ocupantes únicos nos respectivos trechos (em outras palavras,  $0,1570 = 0,0320 + 0,1250$  e  $0,1245 = 0,0320 + 0,0925$ ). A partir do valor de  $\lambda = 500$ , observamos um aumento no tempo esperado de percurso, que é causado pelo nível de congestionamento no sistema. Note que os tempos esperados de percurso para ambas as rotas nunca são iguais, o que significa que aqueles usuários com completo conhecimento dos tempos de percurso poderiam reduzir o próprio tempo de percurso mudando da rota lenta para a rota mais rápida. Tal melhoria seria impossível se estivéssemos diante da solução ótima do problema UE (veja Sheffi, 1985), mas o problema resolvido aqui é o SO, que busca a redução nos tempos de percurso para o sistema como um todo e não para tempos de percurso individuais.

Tabela 4.1: Configuração da rede de três trechos

Rota	Comprimento*	Largura <sup>†</sup>	$V_1^\ddagger$	$V_a^\ddagger$	$V_b^\ddagger$	$c$ (vei)	$E[T_1]^\#$
$a_1$	0,80 (0,50)	5	25 (40)	23 (37)	10 (16)	800	0,0320 (115)
$a_2$	2,50 (1,55)	2	20 (32)	18 (29)	6 (10)	1.000	0,1250 (450)
$a_3$	1,85 (1,15)	2	20 (32)	18 (29)	6 (10)	740	0,0925 (333)

Obs.: \*em milhas (km); <sup>†</sup>em # pistas; <sup>‡</sup>em mph (km/h); <sup>#</sup>em h (s)

No que diz respeito à alocação ótima, observamos que o tráfego é prioritariamente direcionado para a rota mais rápida (isto é, aquela rota com o menor tempo de percurso esperado) e somente então é direcionado para a mais lenta. Esta alocação é exatamente a esperada, o que é encorajador. Para a rede testada, observamos que até o valor de taxa de chegada de 2.000 usuários por unidade de tempo (no caso aqui testado, este é o número de chegadas médio por hora), todo o tráfego é absorvido pela rede, praticamente sem nenhum bloqueio (isto é, aproximadamente 100% das chegadas são imediatamente atendidas, pois a soma das alocações em cada rota totalizam a taxa de chegada). Entretanto, acima de 2.000, a rede parece ter alcançado sua capacidade, uma vez que apenas uma fração do tráfego adicional consegue ser bem sucedido atravessando a rede.

Finalmente, gostaríamos de notar que um comportamento inesperado foi observado na rota composta pelos trechos  $a_1$ - $a_3$ , qual seja o aumento no tempo de percurso (de 0,8964 h para 0,8970 h), apesar da redução no tráfego nela sofrida (de 1.225 usuários por hora para 1.224 usuários por hora). Este é um comportamento que seria impossível caso os tempos de percurso estivessem sendo modelados pelas tradicionais expressões do tipo BPR. Entre-



Tabela 4.2: Alocação ótima de tráfego para a rede de três trechos

$\lambda$	rota	alocação	$E[T]^*$
0	$a_1-a_2$	n/a	0,1570 (565)
	$a_1-a_3$	n/a	0,1245 (448)
500	$a_1-a_2$	152	0,1591 (573)
	$a_1-a_3$	348	0,1287 (463)
1.000	$a_1-a_2$	370	0,1635 (588)
	$a_1-a_3$	630	0,1341 (483)
2.000	$a_1-a_2$	890	0,1791 (645)
	$a_1-a_3$	1.110	0,1484 (534)
4.000	$a_1-a_2$	1.496	0,4742 (1.707)
	$a_1-a_3$	<b>1.225</b>	<b>0,8964 (3.227)</b>
8.000	$a_1-a_2$	1.507	0,4750 (1.710)
	$a_1-a_3$	<b>1.224</b>	<b>0,8970 (3.229)</b>

Obs.: \*em horas (em segundos)

tanto, é um fenômeno perfeitamente razoável com a utilização dos modelos  $M/G/c/c$  dependentes do estado, para modelagem dos tempos de percurso. De fato, conforme relatado em outros estudos [Cardoso et al. \(2010a,b\)](#), os modelos  $M/G/c/c$  dependentes do estado induzem curvas *taxa de saída* versus *taxa de entrada* que alcançam um valor máximo, a partir do qual decaem antes de finalmente estabilizarem-se, conforme pode ser visto na Figura 4.2 ([Jain & Smith, 1997](#)).

As Tabelas 4.3, 4.4 e 4.5 exibem resultados para a variação dos parâmetros do algoritmo DE para a rede da Figura 4.1. São exibidas a média e o

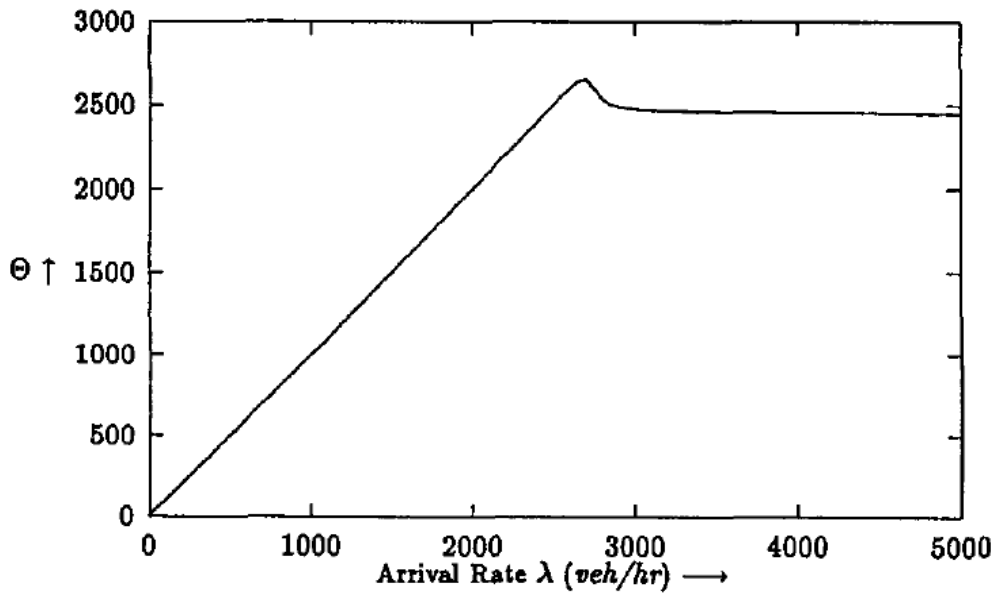


Figura 4.2: Congestionamento exponencial (Jain & Smith, 1997)

erro-padrão da média do número total de avaliações de função, para trinta execuções por variação dos parâmetros. É importante ressaltar que todas as execuções atingiram o resultado ótimo para o tempo total de percurso segundo o modelo SO para uma taxa de chegada de 1000 usuários. Os parâmetros iniciais para o algoritmo de otimização são os seguintes: tamanho da população igual a 8; fator de escala de mutação igual a 1; constante de cruzamento igual a 0,8. Na Tabela 4.3 ocorre a variação do tamanho da população,  $NP$ . Na Tabela 4.4, mostramos a variação do fator de escala de mutação,  $F$ . Finalmente, na Tabela 4.5, a variação da constante de cruzamento,  $CR$ .

O tamanho da população deve ser pequeno, como pode ser notado na Tabela 4.3. O menor número de avaliações de função ocorre quando o tamanho da população é de 8 indivíduos. O aumento do tamanho da população apenas aumenta o número de avaliações de função e, conseqüentemente, o

Tabela 4.3: Variação do parâmetro tamanho da população para a rede de três trechos

$NP$	média*	erro-padrão da média*
4	617	59
8	545	52
12	837	29
16	1.114	32
20	1.388	34
24	1.779	38
28	2.049	31
32	2.330	37
36	2.627	45
40	3.029	52

\* sobre trinta avaliações de função.

tempo de execução do algoritmo. Quanto ao fator de escala de mutação,  $F$ , o melhor valor foi 0,25, porém notamos que o menor erro-padrão da média ocorre com o valor do fator um pouco maior igual a 0,50. Portanto, um fator um pouco maior, como o valor de 0,50, piora um pouco a média de avaliações, mas fornece um resultado mais robusto. A constante de cruzamento deve possuir um valor próximo ao seu limite superior. A Tabela 4.5 mostra que o menor número de avaliações de função é obtido quando o valor da constante de cruzamento é de 0,9.

Tabela 4.4: Variação do parâmetro fator de escala de mutação para a rede de três trechos

$F$	média*	erro-padrão da média*
0,25	315	12
0,50	343	11
0,75	455	13
1,00	499	48
1,25	626	26
1,50	652	23
1,75	848	29
2,00	897	43

\* sobre trinta avaliações de função.

Tabela 4.5: Variação do parâmetro constante de cruzamento para a rede de três trechos

$CR$	média*	erro-padrão da média*
0,0	1.551	139
0,1	1.209	83
0,2	968	76
0,3	911	47
0,4	719	46
0,5	738	59
0,6	648	47
0,7	547	32
0,8	540	48
0,9	452	23
1,0	453	24

\* sobre trinta avaliações de função.

# Capítulo 5

## Conclusões

### 5.1 Observações Finais

O modelo *System Optimum* de Wardrop (SO) foi tratado aqui por meio de uma expressão estocástica diferente para o tempo de percurso. Esta expressão é baseada em um modelo de filas finitas do tipo  $M/G/c/c$  dependente do estado. Esta nova forma de modelar o tempo de percurso traz vantagens sobre as expressões comumente utilizadas, uma vez que ela está em melhor aderência com a realidade, por modelar os efeitos de congestionamento (isto é, a redução no tempo de percurso com o aumento do congestionamento nos trechos da rede). Por outro lado, a função resultante para o tempo de percurso tem formato  $S$ , o que traz novos desafios para os algoritmos de otimização do modelo SO, pela possibilidade de ótimos locais. Resultados computacionais aqui apresentados atestam que heurísticas do tipo *Differential Evolution* (DE) podem ser uma ferramenta efetiva na resolução de problemas SO, uma vez que os resultados obtidos fazem sentido. Adicionalmente, as soluções parecem ser robustas, como demonstrado pela análise de sensibilidade apresentada. Possivelmente o resultado mais surpreendente foi a

redução no número de usuários servidos (com um aumento no tempo de percurso), quando a taxa de entrada ao sistema cresce além da sua capacidade.

## **5.2 Tópicos para Trabalhos Futuros**

Possíveis direções para trabalhos futuros nesta área de pesquisa incluem a análise de redes mais complexas e a aplicação dos algoritmos na modelagem de redes de pedestres, uma vez que também se aplicam ao tráfego de pedestres muitas das características da função de tempo de percurso aqui tratada.

# Referências Bibliográficas

- Akçelik, R. (1991). Travel time function for transport planning purposes: Davidson's function, its time dependent form and an alternative travel time function, *Australian Road Research* **21**(3): 49–59.
- Bureau of Public Roads (1964). Traffic assignment manual, *Technical report*, U.S. Department of Commerce.
- Cardoso, F. F., Neto, O. M. & Cruz, F. R. B. (2010a). Computational experience with a state-dependent traffic assignment problem, *Proceedings of the '4th Southern Conference on Computational Modeling - IV MCSUL'*, Rio Grande, Brazil, pp. 172–177.
- Cardoso, F. F., Neto, O. M. & Cruz, F. R. B. (2010b). Traffic assignment under state-dependent travel times, *Proceedings of 'The 3rd International Conference on Power Electronics and Intelligent Transportation System (PEITS 2010)'*, Shenzhen, China, pp. 1–4.
- Ceylan, H. & Bell, M. G. H. (2005). Genetic algorithm solution for the stochastic equilibrium transportation networks under congestion, *Transportation Research Part B* **39**: 169–185.
- Cruz, F. R. B. & Smith, J. M. (2007). Approximate analysis of  $M/G/c/c$

- state-dependent queueing networks, *Computers & Operations Research* **34**(8): 2332–2344.
- Cruz, F. R. B., van Woensel, T., Smith, J. M. & Lieckens, K. (2010). On the system optimum of traffic assignment in  $M/G/c/c$  state-dependent queueing networks, *European Journal of Operational Research* **201**(1): 183–193.
- Dijkstra, E. W. (1959). A note on two problems in connection with graphs, *Numerical Mathematics* **1**: 269–271.
- Drake, J. S., Schofer, J. L. & May, A. D. (1967). A statistical analysis of speed density hypotheses, *Highway Research Record* **154**: 53–87.
- Edie, L. C. (1961). Car following and steady-state theory, *Operations Research* **9**: 66–76.
- Feoktistov, V. (2006). *Differential Evolution In Search of Solutions*, Springer, New York, USA.
- Greenshields, B. D. (1935). A study of traffic capacity, *Highway Research Board Proceedings* **14**: 448–477.
- Hearn, D. W. & Lawphongpanich, S. (1990). A dual ascent algorithm for traffic assignment problems, *Transportation Research Part B* **24**(6): 423–430.
- Ho, J. K. (1990). Solving the dynamic traffic assignment problem on a hypercube multicomputer, *Transportation Research Part B* **24**(6): 443–451.
- Jain, R. & Smith, J. M. (1997). Modeling vehicular traffic flow using  $M/G/C/C$  state queueing models, *Transportation Science* **31**(4): 324–336.



- Kendall, D. G. (1953). Stochastic processes occurring in the theory of queues and their analysis by the method of imbedded Markov chains, *Annals Mathematical Statistics* **24**: 338–354.
- Kerbache, L. & Smith, J. M. (1987). The generalized expansion method for open finite queueing networks, *European Journal of Operational Research* **32**: 448–461.
- Kleinrock, L. (1975). *Queueing Systems*, Vol. I: Theory, John Wiley & Sons, New York, NY, USA.
- Labetoulle, J. & Pujolle, G. (1980). Isolation method in a network of queues, *IEEE Transactions on Software Engineering* **SE-6**(4): 373–381.
- Larsson, T. & Patriksson, M. (1995). An augmented Lagrangean dual algorithm for link capacity side constrained traffic assignment problems, *Transportation Research Part B* **29**(6): 433–455.
- Mateus, G. R. & Luna, H. P. L. (1986). *Programação Não-Linear*, V Escola de Computação, Belo Horizonte, Brazil.
- Prashker, J. N. & Bekhor, S. (2000). Some observations on stochastic user equilibrium and system optimum of traffic assignment, *Transportation Research Part B* **34**: 277–291.
- Price, K. (1994). Genetic annealing, *Dr. Dobb's Journal* pp. 127–132.
- Price, K. & Storn, R. (2010). Differential evolution, *Website of DE as on August 2010*, International Computer Science Institute, University of California, Berkeley. **URL:** <http://www.icsi.berkeley.edu/~storn/code.html>
- Sheffi, Y. (1985). *Urban Transportation Networks: Equilibrium Analysis with Mathematical Programming Methods*, Prentice-Hall, Englewood Cliffs, NJ.

- Storn, R. & Price, K. (1997). Differential evolution: A simple and efficient heuristic for global optimization over continuous spaces, *Journal of Global Optimization* **11**(4): 341–359.
- Transportation Research Board (1985). Highway capacity manual, *Special Report 209*, National Research Council.
- Underwood, R. T. (1961). Speed, volume, and density relationships: Quality and theory of traffic flow, *Yale Bureau of Highway Traffic* pp. 141–188.
- Yuhaski, S. J. & Smith, J. M. (1989). Modeling circulation systems in buildings using state dependent models, *Queueing Systems* **4**: 319–338.

# Apêndice A

## Códigos em C++

Código A.1: mgccso-main.cpp

```
1 //
2 // Purpose:
3 // to assign traffic in networks of MGCC queues
4 //
5 //
6 // Version:
7 // 3.0
8 //
9 // Date:
10 // Nov/2010
11 //
12 #include <stdlib.h>
13 #include <stdio.h>
14 #include "functions.c"
15 #include "DESchemes.c"
16 #include "cmusr.cpp"
17 #include "mgccso.cpp"
18 int main(int argc, char *argv[]) {
19     // check input
20     if (argc < 2) {
21         fprintf(stderr, "mgccso-main:\t assigns traffic in MGcc networks\n");
22         fprintf(stderr, "Usage:\t mgccso-main [script_file]\n");
23         exit(0);
24     }
25     OpenDEpar();
26     int aux = 0;
27     while ((argv[1][aux]!='\n')&&(argv[1][aux]!='\0')) aux++;
28     argv[1][aux] = '\0';
29     FILE *inputFile = fopen(argv[1], 'r');
30     if (inputFile == NULL) {
31         fprintf(stderr, "%s: No such file\n", argv[1]);
32         exit(0);
33     }
34     MgccNet myMgccNet;
35     myMgccNet.ReadData(inputFile);
36     myMgccNet.ShowNet();
37     const int LLENGTH = 256;
38     char Line[LLENGTH];
39     int i;
40     fgets(Line, LLENGTH, inputFile);
41     fprintf(stdout, "Final Results:\n");
42     determineDV();
43     createSpecimen(nPop);
44     PrepareSpecimen();
45     createHistory(Generations);
46     createPopulation();
```

```

47 createTMPPopulation();
48 SetScheme();
49 InitializePopulation();
50 (void) time(&t1);
51 nmut=0;
52 neval=0;
53 //initialize population
54 srand((unsigned)time(NULL));
55 srand(135790);
56 for(a1=0;a1<PNP-3;a1++) {
57     for(a2=0;a2<PD-1;a2++) {
58         setPopulation(a2, a1,
59             getSpecimen(0,a2)+
60             ((double)rand()/RAND.MAX)*(getSpecimen(1,a2) - getSpecimen(0,a2))
61         );
62     }
63 }
64 for(l=0;l<Generations;l++) {
65     //evolution
66     for(a1=0;a1<PNP-3;a1++) {
67         SetProb(a1,0);
68         myMgccNet.GetPerfMeasures(0);
69         myMgccNet.AggregatePerfMeasures();
70         setPopulation(PD-1,a1,sumd1);
71         neval++;
72         if(Scheme==1) {
73             DERIB();
74         } else {
75             if(Scheme==2) {
76                 DER2B();
77             } else {
78                 DECurr();
79             }
80         }
81         //best individual into new generation
82         SetProb(PNP-3,1);
83         int origin, dest;
84         change=0;
85         conNew=0;
86         conOld=0;
87         sumNew=0;
88         sumOld=0;
89         for(g=0;g<iKT;g++) {
90             origin=ArcKT[g][0];
91             dest=ArcKT[g][1];
92             if(ArcKT[g][0]==ArcKT[g+1][0]) {
93                 sumNew+=fabs(prob[1][origin-1][dest-1]);
94                 sumOld+=fabs(prob[0][origin-1][dest-1]);
95             } else {
96                 if(prob[1][origin-1][dest-1]==1) {
97                     sumNew+=fabs(prob[1][origin-1][dest-1]);
98                     sumOld+=fabs(prob[0][origin-1][dest-1]);
99                     sumNew--;
100                    sumOld--;
101                    maxNew=maximum(sumNew,0);
102                    maxOld=maximum(sumOld,0);
103                    if(maxNew < maxOld) {
104                        con1++;
105                        conNew+=maxNew;
106                        conOld+=maxOld;
107                    }
108                    sumNew=0;
109                    sumOld=0;
110                }
111            }
112        }
113        if(conNew > 0) {
114            change=1;
115        } else {
116            if(conOld > 0) {
117                change=1;
118                myMgccNet.GetPerfMeasures(1); //New
119                myMgccNet.AggregatePerfMeasures();
120                setPopulation(PD-1,PNP-3,sumd1);
121                neval++;
122            } else {
123                myMgccNet.GetPerfMeasures(1); //New
124                myMgccNet.AggregatePerfMeasures();
125                setPopulation(PD-1,PNP-3,sumd1);
126                neval++;
127                if(getPopulation(PD-1,a1)==0) {
128                    myMgccNet.GetPerfMeasures(0); //Old
129                    myMgccNet.AggregatePerfMeasures();

```

```

130         setPopulation (PD-1,a1 ,sumd1);
131         neval++;
132     }
133     if (getPopulation (PD-1,PNP-3)≤getPopulation (PD-1,a1)) {
134         change=1;
135     }
136 }
137 }
138 if (change==1) {
139     nmut++;
140     for (a3=0;a3<PD;a3++) {
141         setTMPPopulation (a3 ,a1 ,getPopulation (a3 ,PNP-3));
142     }
143 } else {
144     for (a3=0;a3<PD;a3++) {
145         setTMPPopulation (a3 ,a1 ,getPopulation (a3 ,a1));
146     }
147 }
148 setPopulation (PD-1,PNP-3,0);
149 }
150 //new population replace old population
151 for (a1=0;a1<PNP;a1++) {
152     for (a2=0;a2<PD;a2++) {
153         setPopulation (a2 ,a1 ,getTMPPopulation (a2 ,a1));
154     }
155 }
156 //search for the best individual
157 WorstIndividual ();
158 BestIndividual ();
159 if (hh-h≥Stagnation [0]-Precision*(hh-h) &&
160     hh-h≤Stagnation [0]+Precision*(hh-h)) {
161     Stagnation [1]++;
162 } else {
163     Stagnation [0]=h-hh;
164     Stagnation [1]=0;
165 }
166 //append to History
167 /*
168     system ("cls");
169     printf ("Scheme = %d\n", Scheme);
170     printf ("Generation = %d\n", l+1);
171     printf ("Population\n");
172     for (a1=0;a1<PNP-3;a1++) {
173         for (a2=0;a2<PD;a2++) {
174             printf ("%lf\t", Population [PD * a1 + a2]);
175         }
176         printf ("\n");
177     }
178     printf ("Best individual = %lg\n", h);
179     printf ("Worst individual = %lg\n", hh);
180 */
181 History [1]=h;
182 ldef=1;
183 if (h != 0 && hh != 0) {
184     if ( ((hh-h)/fabs (hh)<Precision) || (Stagnation [1]>10000) ) {
185         goto stoprun1;
186     }
187 } else {
188     if (h == 0) {
189         Stagnation [2]++;
190         if (Stagnation [2]>1000000) {
191             goto stoprun1;
192         }
193     }
194 }
195 //Generations
196 stoprun1:
197 (void) time (&t2);
198 WritePOP (MutScheme);
199 SetProb (b,0);
200 WriteOut (MutScheme);
201 WriteHistory ();
202 destroyTMPPopulation ();
203 destroyPopulation ();
204 destroyHistory ();
205 destroySpecimen ();
206 while ( fscanf (inputFile , "%d/n" , &i) == 1 ) {
207     myMgccNet . ShowPerfMeasures (i-1);
208 }
209 fclose (inputFile);
210 return 0;
211 }

```

## Código A.2: functions.c

```

1  #include <stdio.h>
2  #include <string.h>
3  #include <math.h>
4  #include <time.h>
5  int   ArcKT[100][2];
6  int   iKT=0;
7  float ***prob;
8  double *Population, *TMPPopulation, *PRTV, *Specimen, *History;
9  int     PD, PNP, i, a3, a4, b, bb, s, l, ldef, n, neval, nmut, a1, a2, NP, NPi,
10  Scheme, D, smc2, V1, V2, V3, V4, V5, Generations;
11 double h, hh, ckl1, F, F1, F2, F3, CR, CR1, CR2, Kk, Kmin, Kmax, Precision;
12 FILE   *in, *pop;
13 time_t  t1; // = time(NULL);
14 time_t  t2;
15 char    MutScheme [10];
16 double  Stagnation [3];
17 double  maxNew, maxOld, conNew, conOld, sumNew, sumOld;
18 int     nPop, change;
19 int     g, sum1, con1;
20 double  sumd1;
21 void    OpenDEpar() {
22     if ((in = fopen("DEpar.txt", "rt")) == NULL) {
23         printf("Cannot open configuration file !!!\n");
24         exit(0);
25     }
26     const int LLENGTH = 256;
27     char Line[LLENGTH];
28     fgets(Line, LLENGTH, in); fscanf(in, "%d\n", &NPi);
29     fgets(Line, LLENGTH, in); fscanf(in, "%d\n", &Generations);
30     fgets(Line, LLENGTH, in); fscanf(in, "%lf\n", &F1);
31     fscanf(in, "%lf\n", &F2); // fgets(in);
32     fscanf(in, "%lf\n", &F3);
33     fscanf(in, "%lf\n", &CR1);
34     fscanf(in, "%lf\n", &CR2);
35     fscanf(in, "%lf\n", &Kmin);
36     fscanf(in, "%lf\n", &Kmax);
37     fgets(Line, LLENGTH, in);
38     fscanf(in, "%d\n", &Scheme);
39     fgets(Line, LLENGTH, in);
40     fscanf(in, "%lf\n", &Precision);
41     fclose(in);
42     /*
43     printf("Npi = %d\n", NPi);
44     printf("Generations = %d\n", Generations);
45     printf("F1 = %lf\n", F1);
46     printf("F2 = %lf\n", F2);
47     printf("F3 = %lf\n", F3);
48     printf("CR1 = %lf\n", CR1);
49     printf("CR2 = %lf\n", CR2);
50     printf("Kmin = %lf\n", Kmin);
51     printf("Kmax = %lf\n", Kmax);
52     printf("Scheme = %d\n", Scheme);
53     printf("Precision = %lf\n", Precision);
54     */
55 }
56 void    determineDV() {
57     for (g=0; g<iKT; g++) {
58         if (ArcKT[g][0] == ArcKT[g+1][0]) {
59             nPop++;
60         }
61     }
62     return;
63 }
64 int     createSpecimen(int pd) {
65     PD = pd+1;
66     Specimen = (double*) calloc(pd * 3, sizeof(double));
67     if (Specimen == NULL) {
68         puts("Not enough memory !!!");
69         exit(0);
70     }
71     return Specimen ? 0 : 1;
72 }
73 void    setSpecimen(int dm, int pd, double pop) {
74     Specimen[3 * pd + dm] = pop;
75 }
76 double maximum(double vict1, double vict2) {
77     if (vict1 >= vict2) {
78         return vict1;
79     } else {
80         return vict2;
81     }
82 }

```

```

83 void PrepareSpecimen() {
84     a4=0;
85     for (g=0;g<iKT;g++) {
86         if (ArcKT[g][0]==ArcKT[g+1][0]) {
87             setSpecimen(0,a4,0);
88             setSpecimen(1,a4,1);
89             setSpecimen(2,a4,0);
90             a4++;
91         }
92     }
93     D=a4;
94     D=maximum(D,4);
95     NP=NPi*D;
96     PNP=NP+3;
97     return;
98 }
99 int createHistory(int ml) {
100     History = (double*) calloc(ml, sizeof(double));
101     if (History==NULL) {
102         puts("Not enough memory !!!");
103         exit(0);
104     }
105     return Population ? 0 : 1;
106 }
107 int createPopulation() {
108     Population = (double*) calloc((NP+3) * PD, sizeof(double));
109     if (Population==NULL) {
110         puts("Not enough memory !!!");
111         exit(0);
112     }
113     return Population ? 0 : 1;
114 }
115 int createTMPPopulation() {
116     TMPPopulation = (double*) calloc((NP+3) * PD, sizeof(double));
117     if (TMPPopulation==NULL) {
118         puts("Not enough memory !!!");
119         exit(0);
120     }
121     return TMPPopulation ? 0 : 1;
122 }
123 void SetScheme() {
124     if (Scheme==1) {
125         strcpy(MutScheme,"DER1B");
126     } else if (Scheme==2) {
127         strcpy(MutScheme,"DER2B");
128     } else {
129         strcpy(MutScheme,"DECuRR");
130     }
131 }
132 void setPopulation(int pd, int pnp, double pop) {
133     Population[PD * pnp + pd] = pop;
134 }
135 void InitializePopulation() {
136     for (a1=0;a1<PD;a1++) {
137         for (a2=0;a2<NP+3;a2++) {
138             setPopulation(a1, a2, 0);
139         }
140     }
141 }
142 double getPopulation(int pd, int pnp) {
143     return Population[PD * pnp + pd];
144 }
145 double getSpecimen(int dm, int pd) {
146     return Specimen[3 * pd + dm];
147 }
148 void SetProb(int Candidate, int Individual) {
149     // char ofilename[] = "Probs.txt";
150     // FILE *ofp;
151     // ofp = fopen(ofilename,"at");
152     int origin, dest;
153     a4=0;
154     sumd1=0.0;
155     // printf("SetProb:\n");
156     for (g=0;g<iKT;g++) {
157         origin=ArcKT[g][0];
158         dest=ArcKT[g][1];
159         if (ArcKT[g][0]==ArcKT[g+1][0]) {
160             prob[Individual][origin-1][dest-1]=getPopulation(a4,Candidate);
161             sumd1+=prob[Individual][origin-1][dest-1];
162             // printf("pop[%d][%d]=%f\t", a4, Candidate, getPopulation(a4,Candidate));
163             a4++;
164         } else {
165             if (prob[Individual][origin-1][dest-1]!=1) {

```

```

166         prob[Individual][origin-1][dest-1]=1.0-sumd1;
167         sumd1=0.0;
168     }
169 }
170 }
171 /*
172  printf("pop[%d][%d]=%f\n", a4, Candidate, getPopulation(a4,Candidate));
173  for (g=0;g<iKT;g++) {
174      origin=ArcKT[g][0];
175      dest=ArcKT[g][1];
176      printf("prob[%d][%d][%d]=%f\t",
177          Individual, origin, dest, prob[Individual][origin-1][dest-1]);
178  }
179  printf("\n");
180 */
181 // fclose(ofp);
182 }
183 void setTMPPopulation(int pd, int pnp, double pop) {
184     TMPPopulation[PD * pnp + pd] = pop;
185 }
186 double getTMPPopulation(int pd, int pnp) {
187     return TMPPopulation[PD * pnp + pd];
188 }
189 void WorstIndividual() {
190     int smc;
191     smc=0;
192     bb=smc;
193     hh=getPopulation(PD-1,smc);
194     for (smc=1;smc<PNP-3;smc++) {
195         if (getPopulation(PD-1,smc)>hh) {
196             bb=smc;
197             hh=getPopulation(PD-1,smc);
198         }
199     }
200 }
201 void BestIndividual() {
202     int smc;
203     h=1E+38;
204     for (smc=0;smc<PNP-3;smc++) {
205         if ((getPopulation(PD-1,smc)<h)&&(getPopulation(PD-1,smc)>0.)) {
206             b=smc;
207             h=getPopulation(PD-1,smc);
208         }
209     }
210 }
211 void WritePOP(char *ret) {
212     if ((pop = fopen("Population.txt", "w")) == NULL) {
213         printf("Cannot open output population file !!!\n");
214         goto END;
215     }
216     printf("Calculated by %s\n",ret);
217     printf("\n");
218     for (a1=0;a1<PNP-3;a1++) {
219         sum1=0;
220         for (a2=0;a2<PD;a2++) {
221             fprintf(pop, "%lf\t", Population[PD * a1 + a2]);
222             sum1++;
223             if (sum1==5) {
224                 sum1=0;
225                 fprintf(pop, "\n");
226             }
227         }
228         fprintf(pop, "\n");
229     }
230     fclose(pop);
231     END;
232 }
233 void WriteOut(char *ret) {
234     //on screen
235     system("cls");
236     //return the best individual
237     printf("Calculated by %s\n",ret);
238     printf("\n");
239     printf("Evolution conditions\nNP = %d,\tD = %d,\tF = %lg,\tCR = %lg\n",
240         NP, D, F, CR);
241     printf("Generations = %d\n", ldef+1);
242     printf("Number of function evaluations = %d\n", neval);
243     printf("Number of mutations = %d\n", nmut);
244     printf("Required time = %d seconds\n", (int)(t2-t1));
245     printf("\n");
246     //profit value of the best individual
247     for (g=0;g<iKT;g++) {
248         i=ArcKT[g][0];

```



```

249         s=ArcKT[g][1];
250         printf("Best individual: Prob[%d,%d] = %lf\n", i, s, prob[0][i-1][s-1]);
251     }
252     printf("\n");
253     ckl1=getPopulation(PD-1,b);
254     printf("Best individual Expected service time = %lf\n", ckl1);
255     printf("Best Member:\n");
256     for (a2=0;a2<PD;a2++) {
257         printf("%lf\t", Population[PD * b + a2]);
258     }
259     printf("\n\n");
260     ckl1=getPopulation(PD-1,bb);
261     printf("Worst individual Expected service time = %lf\n", ckl1);
262     printf("Worst Member:\n");
263     for (a2=0;a2<PD;a2++) {
264         printf("%lf\t", Population[PD * bb + a2]);
265     }
266     printf("\n\n");
267     //to file
268     if ((in = fopen("DE-Output.txt", "at")) == NULL) {
269         printf("Cannot open output file !!!\n");
270         goto END;
271     }
272     //return the best individual
273     fprintf(in, "Calculated by %s\n", ret);
274     fprintf(in, "\n");
275     fprintf(in, "Evolution conditions:\nNP = %d,\tD = %d,\tF = %lg,\tCR = %lg\n",
276             NP, D, F, CR);
277     fprintf(in, "Generations = %d\n", ldef+1);
278     fprintf(in, "Number of function evaluations = %d\n", neval);
279     fprintf(in, "Number of mutations = %d\n", nmut);
280     fprintf(in, "Required time = %d seconds\n", (int)(t2-t1));
281     fprintf(in, "\n");
282     //cost value of the best individual
283     for (g=0;g<IKT;g++) {
284         i=ArcKT[g][0];
285         s=ArcKT[g][1];
286         fprintf(in, "Best individual: Prob[%d,%d] = %lf\n", i, s, prob[0][i-1][s-1]);
287     }
288     fprintf(in, "\n\n");
289     ckl1=getPopulation(PD-1,b);
290     fprintf(in, "Best individual Expected service time = %lf\n", ckl1);
291     fprintf(in, "Best Member:\n");
292     for (a2=0;a2<PD;a2++) {
293         fprintf(in, "%lf\t", Population[PD * b + a2]);
294     }
295     fprintf(in, "\n\n");
296     ckl1=getPopulation(PD-1,bb);
297     fprintf(in, "Worst individual Expected service time = %lf\n", ckl1);
298     fprintf(in, "Worst Member:\n");
299     for (a2=0;a2<PD;a2++) {
300         fprintf(in, "%lf\t", Population[PD * bb + a2]);
301     }
302     fprintf(in, "\n\n");
303     fclose(in);
304     END;;
305 }
306 void WriteHistory() {
307     if ((in = fopen("History.txt", "wt")) == NULL) {
308         printf("Cannot open output file for history of evolution !!!\n");
309         goto END;
310     }
311     for (i=0;i<ldef;i++) {
312         fprintf(in, "%d\t%lf\n", i+1, History[i]);
313     }
314     fclose(in);
315     END;;
316 }
317 int destroyTMPPopulation() {
318     free(TMPPopulation);
319     TMPPopulation = 0;
320     return 0;
321 }
322 int destroyPopulation() {
323     free(Population);
324     Population = 0;
325     return 0;
326 }
327 int destroySpecimen() {
328     free(Specimen);
329     Specimen = 0;
330     return 0;
331 }

```

```
332 int destroyHistory() {
333     free(History);
334     History = 0;
335     return 0;
336 }
```

## Código A.3: DESchemes.c

```

1 void DER1B() {
2 // printf("DER1B:\n");
3 F=F1;
4 CR=CR1;
5 //three random vectors
6 do {
7 V1=(PNP-3)*((double)rand()/RAND_MAX);
8 V2=(PNP-3)*((double)rand()/RAND_MAX);
9 V3=(PNP-3)*((double)rand()/RAND_MAX);
10 } while (V1==V2 || V1==V3 || V2==V3 || V1==a1 || V2==a1 || V3==a1);
11 // printf("(V1,V2,V3)=(%d,%d,%d)\n", V1, V2, V3);
12 //from difference vector to trial vector
13 // printf("trial vector: ");
14 for (a2=0;a2<PD-1;a2++) {
15 sum1=D*((double)rand()/RAND_MAX);
16 if (((double)rand()/RAND_MAX)<CR || a2==sum1) { //PD-1
17 setPopulation(a2, PNP-3,
18 F*(getPopulation(a2,V1)-getPopulation(a2,V2))+getPopulation(a2,V3));
19 } else {
20 setPopulation(a2, PNP-3, getPopulation(a2,a1));
21 }
22 // printf("(%f) ", getPopulation(a2, PNP-3));
23 //type of variable and boundary checking
24 //completely new random value
25 /*
26 if (getSpecimen(0,a2)>getPopulation(a2,PNP-3) || getSpecimen(1,a2)<getPopulation(
27 a2,PNP-3))
28 setPopulation(a2,PNP-3,getSpecimen(0,a2)+((double)rand()/RAND_MAX)*(
29 getSpecimen(1,a2)-getSpecimen(0,a2));
30 */
31 //new random value between current and exceeded boundary
32 if (getSpecimen(0,a2)>getPopulation(a2,PNP-3)) {
33 setPopulation(a2, PNP-3,
34 getSpecimen(0,a2)+((double)rand()/RAND_MAX)*(getPopulation(a2,a1)-
35 getSpecimen(0,a2)));
36 }
37 if (getSpecimen(1,a2)<getPopulation(a2,PNP-3)) {
38 setPopulation(a2,PNP-3,
39 getPopulation(a2,a1)+((double)rand()/RAND_MAX)*(getSpecimen(1,a2)-
40 getPopulation(a2,a1)));
41 }
42 // printf("%f\t", getPopulation(a2, PNP-3));
43 }
44 // printf("\n");
45 }
46 void DER2B() {
47 F=F2;
48 CR=CR2;
49 //three random vectors
50 do {
51 V1=(PNP-3)*((double)rand()/RAND_MAX);
52 V2=(PNP-3)*((double)rand()/RAND_MAX);
53 V3=(PNP-3)*((double)rand()/RAND_MAX);
54 V4=(PNP-3)*((double)rand()/RAND_MAX);
55 V5=(PNP-3)*((double)rand()/RAND_MAX);
56 } while (V1==V2 || V1==V3 || V1==V4 || V1==V5 || V2==V3 || V2==V4 || V2==V5 || V3==V4
57 || V3==V5 || V4==V5 || V1==a1 || V2==a1 || V3==a1 || V4==a1 || V5==a1);
58 //from difference vector to trial vector
59 sum1=D*((double)rand()/RAND_MAX);
60 for (a2=0;a2<PD-1;a2++) {
61 if (((double)rand()/RAND_MAX)<CR || a2==sum1) { //PD-1
62 setPopulation(a2, PNP-3,
63 F*(getPopulation(a2,V1)+getPopulation(a2,V2)-getPopulation(a2,V3)-
64 getPopulation(a2,V4)+getPopulation(a2,V5));
65 } else {
66 setPopulation(a2,PNP-3,getPopulation(a2,a1));
67 }
68 //type of variable and boundary checking
69 //completely new random value
70 /*
71 if (getSpecimen(0,a2)>getPopulation(a2,PNP-3) || getSpecimen(1,a2)<getPopulation
72 (a2,PNP-3))
73 setPopulation(a2,PNP-3,getSpecimen(0,a2)+((double)rand()/RAND_MAX)*(
74 getSpecimen(1,a2)-getSpecimen(0,a2));
75 */
76 //new random value between current and exceeded boundary
77 if (getSpecimen(0,a2)>getPopulation(a2,PNP-3)) {
78 setPopulation(a2,PNP-3,getSpecimen(0,a2)+((double)rand()/RAND_MAX)*(
79 getPopulation(a2,a1)-getSpecimen(0,a2)));
80 }
81 }
82 if (getSpecimen(1,a2)<getPopulation(a2,PNP-3)) {

```

```

73         setPopulation(a2,PNP-3,getPopulation(a2,a1)+((double) rand()/RAND.MAX )*(
           getSpecimen(1,a2)-getPopulation(a2,a1)));
74     }
75 }
76 }
77 void DECuRR() {
78     F=F3;
79     //three random vectors
80     do {
81         V1=(PNP-3)*((double) rand()/RAND.MAX );
82         V2=(PNP-3)*((double) rand()/RAND.MAX );
83         V3=(PNP-3)*((double) rand()/RAND.MAX );
84     } while (V1==V2 || V1==V3 || V2==V3 || V1==a1 || V2==a1 || V3==a1);
85     Kk=(Kmin+(Kmax-Kmin)*((double) rand()/RAND.MAX ));
86     //from difference vector to trial vector
87     for(a2=0;a2<PD-1;a2++) {
88         setPopulation(a2, PNP-3,
89         getPopulation(a2,a1)+Kk*(getPopulation(a2,V3)-getPopulation(a2,a1))+F*(
           getPopulation(a2,V2)-getPopulation(a2,V1)));
90         //type of variable and boundary checking
91         //completely new random value
92     /*
93         if(getSpecimen(0,a2)>getPopulation(a2,PNP-3) || getSpecimen(1,a2)<getPopulation(
           a2,PNP-3))
94             setPopulation(a2,PNP-3,getSpecimen(0,a2)+((double) rand()/RAND.MAX )*(
           getSpecimen(1,a2)-getSpecimen(0,a2)));
95     */
96     //new random value between current and exceeded boundary
97     if (getSpecimen(0,a2)>getPopulation(a2,PNP-3)) {
98         setPopulation(a2, PNP-3,
99         getSpecimen(0,a2)+((double) rand()/RAND.MAX )*(getPopulation(a2,a1)-
           getSpecimen(0,a2)));
100    }
101    if (getSpecimen(1,a2)<getPopulation(a2,PNP-3)) {
102        setPopulation(a2, PNP-3,
103        getPopulation(a2,a1)+((double) rand()/RAND.MAX )*(getSpecimen(1,a2)-
           getPopulation(a2,a1)));
104    }
105 }
106 }

```

## Código A.4: cmusr.cpp

```

1 //
2 // Purpose:
3 //   to implement congestions models
4 //   FOR A SPECIFIC CLASS OF USERS
5 //
6 // Version:
7 //   6.00
8 //
9 // Date:
10 //   Nov/2010
11 //
12 #ifndef CMUSR_CPP
13 #define CMUSR_CPP
14 #include <stdlib.h>
15 #include <stdio.h>
16 #include <math.h>
17 #include "cm.cpp"
18 //
19 // WARNING
20 //
21 // these variables are set up for each service type XX:
22 //
23 double CMUSR_maxDens;
24 double CMUSR_maxSpeed;
25 double CMUSR_aDens;
26 double CMUSR_bDens;
27 double CMUSR_aSpeed;
28 double CMUSR_bSpeed;
29 //
30 // in the file below:
31 //
32 char CMUSR_servFileName [] = "mgcc-serv-XX.txt";
33 //
34 // function SetCorridor(double length, double width);
35 // must be called for each server to set up these variables:
36 //
37 // double length; // server length
38 // double width; // server width
39 //
40 // generic velocity congestion model for users
41 //
42 class CMGenUsr {
43 public:
44 // default constructor
45 CMGenUsr(void) {}
46 // destructor
47 virtual ~CMGenUsr(void) {}
48 virtual void SetCorridor(double length, double width) = 0;
49 };
50 //
51 // linear velocity congestion model for users
52 //
53 class CMLinUsr: public CMLin, public CMGenUsr {
54 public:
55 // default constructor
56 CMLinUsr(void): CMLin(), CMGenUsr() {}
57 // destructor
58 ~CMLinUsr(void) {}
59 void SetCorridor(double length, double width);
60 };
61 //
62 // exponential velocity congestion model for users
63 //
64 class CMExpUsr: public CMExp, public CMGenUsr {
65 public:
66 // default constructor
67 CMExpUsr(void): CMExp(), CMGenUsr() {}
68 // destructor
69 ~CMExpUsr(void) {}
70 void SetCorridor(double length, double width);
71 };
72 //
73 // implementation
74 //
75 void CMLinUsr::SetCorridor(double length, double width) {
76 #if CMUSR_DEBUG
77 fprintf(CM_OUT_FILE, "CMLinUsr::SetCorridor(double, double):\n");
78 #endif
79 int theCap = (int)floor(CMUSR_maxDens * length * width);
80 double theEts1 = length/CMUSR_maxSpeed;
81 CMGen::SetC(theCap);
82 SetEts1(theEts1);

```

```

83     SetV1(CMUSR_maxSpeed);
84 }
85 void CMEpUstr::SetCorridor(double length, double width) {
86 #if CMUSR_DEBUG
87     fprintf(CMOUT_FILE, "CMEpUstr::SetCorridor(double, double):\n");
88 #endif
89     CMEpUstr::SetShapeForm(CMUSR_maxDens, CMUSR_aDens, CMUSR_aSpeed,
90                             CMUSR_bDens, CMUSR_bSpeed);
91     int theCap = (int)floor(CMUSR_maxDens * length * width);
92     double theEts1 = length/CMUSR_maxSpeed;
93     SetC(theCap);
94     SetEts1(theEts1);
95     SetV1(CMUSR_maxSpeed);
96 }
97 #endif

```

## Código A.5: cm.cpp

```

1 //
2 // Purpose:
3 //   to implement linear and exponential congestion models
4 //
5 // Version: 5.0
6 //
7 // Date: Nov/2010
8 //
9 #ifndef CM_CPP
10 #define CM_CPP
11 #include <stdlib.h>
12 #include <stdio.h>
13 #include <math.h>
14 //
15 // these are general settings
16 //
17 #define CM_IN_FILE stdin // input file
18 #define CM_OUT_FILE stdout // output file
19 #define CM_ERR_FILE stderr // error file
20 #define CM_EVALUATED 1 // flag
21 //
22 // WARNING
23 //
24 // these variables must be eventually set up for each server:
25 //
26 // int cap; // server capacity
27 // double expcST; // expected service time for lone occupant
28 // double maxSpeed; // lone occupant speed
29 //
30 // double maxDens; // maximum density per unit of area
31 // double aDens; // density A
32 // double aSpeed; // speed at density A
33 // double bDens; // density B
34 // double bSpeed; // speed at density B
35 //
36 // generic congestion model
37 //
38 class CMGen {
39 protected:
40 int cap; // server capacity
41 double Ets1; // expected service time for lone occupant
42 double maxSpeed; // lone occupant speed
43 int status;
44 public:
45 // default constructor
46 CMGen(void): cap(0), Ets1(0), maxSpeed(0), status(!CM_EVALUATED) {}
47 // destructor
48 virtual ~CMGen(void) {}
49 void SetC(int C) {cap=C; status=!CM_EVALUATED;}
50 void SetEts1(double theEts1) {Ets1=theEts1; status=!CM_EVALUATED;}
51 void SetV1(double V1) {maxSpeed=V1; status=!CM_EVALUATED;}
52 int GetC(void) {return cap;}
53 double GetEts1(void) {return Ets1;}
54 double GetV1(void) {return maxSpeed;}
55 virtual double Rate(int customers) = 0;
56 };
57 //
58 // linear velocity congestion model
59 //
60 class CMLin: public CMGen {
61 public:
62 // default constructor
63 CMLin(void): CMGen() {}
64 // destructor
65 ~CMLin(void) {}
66 double Rate(int customers);
67 };
68 //
69 // exponential velocity congestion model
70 //
71 class CMExp: public CMGen {
72 int statConsts; // status of constants
73 double maxDens; // maximum density
74 double aDens; // density A
75 double aSpeed; // speed at density A
76 double bDens; // density B
77 double bSpeed; // speed at density B
78 double beta; // shape and form parameters
79 double gamma; // shape and form parameters
80 public:
81 // default constructor
82 CMExp(void): CMGen(), statConsts(!CM_EVALUATED) {}

```

```

83 // destructor
84 ~CMEExp(void) {}
85 void SetShapeForm(double maxDens, double aDens, double aSpeed,
86                 double bDens, double bSpeed);
87 double Rate(int customers);
88 };
89 //
90 // implementation
91 //
92 double CMLin::Rate(int customers) {
93     if ((cap≤0)|| (customers<0)|| (customers>cap)) {
94         fprintf(CM_ERR_FILE, "CMLin::Rate(int): ERROR: parameter out of range\n");
95         exit(1);
96     }
97     #if CMDEBUG
98         fprintf(CM_OUT_FILE, "CMLin::Rate(int):\t%20.18f\n",
99                 ((double)(cap+1-customers)/cap));
100     #endif
101     return((double)(cap+1-customers)/cap);
102 }
103 void CMEExp::SetShapeForm(double theMaxDens, double theADens, double theASpeed,
104                          double theBDens, double theBSpeed) {
105     #if CMDEBUG
106         fprintf(CM_OUT_FILE, "CMEExp::SetShapeForm:\n");
107     #endif
108     maxDens = theMaxDens;
109     aDens = theADens;
110     aSpeed = theASpeed;
111     bDens = theBDens;
112     bSpeed = theBSpeed;
113     status = !CM_EVALUATED;
114 }
115 double CMEExp::Rate(int customers) {
116     if (status != CM_EVALUATED) {
117         double a=aDens*cap/maxDens;
118         double b=bDens*cap/maxDens;
119         gamma=log( log(aSpeed/maxSpeed)/log(bSpeed/maxSpeed)) / log((a-1)/(b-1));
120         // if (errno) {
121         //     fprintf(CM_OUT_FILE, "CMEExp::Rate(%d):\tgamma\tlog(log(%f/%f)/log(%f/%f))/log
122         //         ((%f-1)/(%f-1))\t%f\n",
123         //             customers, aSpeed, maxSpeed, bSpeed, maxSpeed, a, b, gamma);
124         //     exit(1);
125         // }
126         beta=(a-1)/pow(log(maxSpeed/aSpeed), (1/gamma));
127         // if (errno) {
128         //     fprintf(CM_OUT_FILE, "CMEExp::Rate(%d):\tbeta\t(%f-1)/pow(log(%f/%f), (1/%f))\t
129         //         %f\n",
130         //             customers, a, maxSpeed, aSpeed, gamma, beta);
131         //     exit(1);
132         // }
133         status = CM_EVALUATED;
134     #if CMDEBUG
135         fprintf(CM_OUT_FILE, "CMEExp::Rate(%d):\n\tgamma\t%20.18f\tbeta\t%20.18f\n",
136                 customers, gamma, beta);
137         fprintf(CM_OUT_FILE, "CMEExp::Rate(%d):\texp(-((%d-1)/%f)^%f\t%f\n",
138                 customers, customers, beta, gamma, exp(-pow((customers-1)/beta, gamma)));
139     #endif
140     if ((cap≤0)|| (customers<0)|| (customers>cap)) {
141         fprintf(CM_ERR_FILE, "CMEExp::Rate(%d):\tERROR: parameter out of range\n",
142                 customers);
143         exit(1);
144     }
145     return(exp(-pow((customers-1)/beta, gamma)));
146 }
147 #endif

```



## Código A.6: mgccso.cpp

```

1 //
2 // Given:
3 // - velocity congestion model and
4 // - input lambda,
5 // this library determines performance measures:
6 // - balking probability,
7 // - throughput rate,
8 // - expected number of occupants in the queue, and
9 // - waiting time.
10 //
11 // Version: 3.00
12 //
13 // Date: Nov/2010
14 //
15 #ifndef MGCCANL_CPP
16 #define MGCCANL_CPP
17 #include <stdlib.h>
18 #include <stdio.h>
19 #include <math.h>
20 #include "cmusr.cpp"
21 // #define or #undef below for either improved or traditional implementation
22 #define MGCCANL_IMPROVED
23 // #undef MGCCANL_IMPROVED
24 //
25 // these are general settings
26 //
27 #define MGCCANL_IN_FILE stdin // input file
28 #define MGCCANL_OUT_FILE stdout // output file
29 #define MGCCANL_ERR_FILE stderr // error file
30 #define MGCCANL_NOT_EVALUATED 0 // flag
31 #define MGCCANL_PRE_EVALUATED 1 // flag
32 #define MGCCANL_EVALUATED 2 // flag
33 #define MGCCANL_EPSILON 1E-06 // precision (iterative process)
34 #define MGCCANL_MAX_IT 50 // max. # iterations (iterative proc.)
35 #define MGCCANL_INFINITY 1E+38 // infinity
36 //
37 // MGCC Class
38 //
39 class MgccNet;
40 class Mgcc {
41     friend class MgccNet;
42 // input
43     CMGen *service; // velocity congestion model
44     double lambda0i; // external input
45     double lambda_i; // total input
46     double eLambda; // effective lambda
47     int status; // node status (not-evaluated, pre-evaluated or evaluated)
48 // output
49     double pC; // blocking probability
50     double theta; // throughput
51     double Eq; // expected number of customers
52     double Ets; // expected service time
53     double mu_h; // service rate at previous holding node
54     double rho; // node utilization of holding node
55 public:
56 // default constructor
57     Mgcc(void);
58 // destructor
59     ~Mgcc(void);
60 // methods
61     void Reset(void);
62     void SetService(CMGen *service);
63     void SetExtLambda(double lambda);
64     double GetLambda(void);
65     int GetC(void);
66     double GetEts1(void);
67     void GetPerfMeasures(double theEts1);
68     void GetPerfMeasuresMMcc(double theEts1);
69     double GetPC(void) {return pC;}
70     double GetTheta(void) {return theta;}
71     double GetWIP(void) {return Eq;}
72     double GetEts(void) {return Ets;}
73     void ShowInput(void);
74     void ShowPerfMeasures(void);
75     void ShowAll(void);
76     void AggregatePerfMeasures(void);
77 };
78 //
79 // mgcc node type
80 //
81 typedef struct mgccNode {
82     int index;

```

```

83     double prob;
84     mgccNode *next;
85 } mgccNodeType;
86 //
87 // network of MGCC Class
88 //
89 class MgccNet: public Mgcc {
90     int nOfNodes;
91     Mgcc *node;
92     mgccNodeType **prevNode;
93 public:
94     // default constructor
95     MgccNet(void);
96     // destructor
97     ~MgccNet(void);
98     int ReadData(FILE *inputFile);
99     void Reset(void);
100    void SetNOfNodes(int nNodes);
101    void SetArc(int origin, int dest, float theProb, int Individual);
102    int IsArc(int origin, int dest, int Individual) {return(prob[Individual][origin][dest
    ]>MGCCANLEPSILON);}
103    void SetService(int nIndex, CMGen *serv);
104    void SetExtLambda(int nIndex, double lambda);
105    void GetPerfMeasures(int Individual);
106    void GetPerfMeasuresMMcc(void);
107    void PreEvaluate(int nIndex, int Individual);
108    void Evaluate(int nIndex, int Individual);
109    void ShowInput(int nIndex);
110    void ShowPerfMeasures(void);
111    void ShowPerfMeasures(int nIndex);
112    void ShowNet(void);
113    void AggregatePerfMeasures(void);
114    double GetPC(int nIndex) {return node[nIndex].GetPC();}
115    double GetTheta(int nIndex) {return node[nIndex].GetTheta();}
116    double GetWIP(int nIndex) {return node[nIndex].GetWIP();}
117    double GetEts(int nIndex) {return node[nIndex].GetEts();}
118 };
119 //
120 // implementation
121 //
122 Mgcc::Mgcc(void): service(NULL), lambda0i(0.0), lambda_i(0.0),
123 eLambda(MGCCANLINFINITY), status(MGCCANLNOTEVALUATED) {
124 #if MGCCSODEBUG
125     fprintf(MGCCANLOUT_FILE, "Mgcc::Mgcc()\n" );
126 #endif
127 };
128 Mgcc::~Mgcc(void) {
129 #if MGCCSODEBUG
130     fprintf(MGCCANLOUT_FILE, "Mgcc::~Mgcc()\n" );
131 #endif
132 };
133 void Mgcc::Reset(void) {
134 #if MGCCSODEBUG
135     fprintf(MGCCANLOUT_FILE, "Mgcc::Reset\n" );
136 #endif
137     eLambda = MGCCANLINFINITY;
138     status = MGCCANLNOTEVALUATED;
139 }
140 void Mgcc::SetService(CMGen *theService) {
141     service = theService;
142     Reset();
143 }
144 int Mgcc::GetC(void) {
145     if (service==NULL) {
146         fprintf(MGCCANLOUT_FILE, "Mgcc::GetC: error service not set");
147         exit(1);
148     }
149     return (service->GetC());
150 }
151 double Mgcc::GetEts1(void) {
152     if (service==NULL) {
153         fprintf(MGCCANLOUT_FILE, "Mgcc::GetEts: error service not set");
154         exit(1);
155     }
156     return (service->GetEts1());
157 }
158 void Mgcc::SetExtLambda(double theLambda) {
159     lambda0i = theLambda;
160     lambda_i = lambda0i;
161     Reset();
162 }
163 double Mgcc::GetLambda(void) {
164     return (lambda0i);

```

```

165 }
166 void Mgcc::GetPerfMeasures(double Ets1) {
167 #if MGCCSO.DEBUG
168     fprintf(MGCCANL.OUT.FILE, "Mgcc::GetPerfMeasures(Ets1=%f):\n", Ets1);
169 #endif
170     double *pn, maxPn, ΔPn, pCPrime, pCPrimeOld;
171     double lambda, lambda_h, z, r1, r2, xn, xd;
172     double Emu.i;
173     int C, Cmax, k, it;
174 //
175 //     compute blocking probability
176 //
177 //     initializations
178     C = service->GetC();
179     pn = new double[C+1];
180 //     calculate empty system probability p0 for node i
181     pn[1] = log(exp(-80)+lambda.i*Ets1/(1*service->Rate(1)));
182 //     pn[0] = 1.0 + exp(pn[1]);
183 //     fprintf(MGCCANL.OUT.FILE, "pn[1]\t%20.18f\n", pn[1]);
184     for (k=2; k≤C; k++) {
185         pn[k] = pn[k-1] + log(exp(-80)+lambda.i*Ets1/(k*service->Rate(k)));
186         pn[0] += exp(pn[k]);
187         fprintf(MGCCANL.OUT.FILE, "pn[%d]\t%20.18f\n", k, pn[k]);
188     }
189 //     pn[0] = 1/pn[0];
190 //     fprintf(MGCCANL.OUT.FILE, "pn[%d]\t%e\n", 0, pn[0]);
191     maxPn = -1;
192     for (k=1; k≤C; k++) {
193         if (pn[k]>maxPn) {
194             maxPn=pn[k];
195         }
196     }
197     if (maxPn>80) {
198         ΔPn = (maxPn-80);
199 //     fprintf(MGCCANL.OUT.FILE, "(%e-80)\t%e\n", maxPn, ΔPn);
200         for (k=1; k≤C; k++) {
201             pn[k]-=ΔPn;
202         }
203     }
204     pn[0] = 1.0;
205     for (k=1; k≤C; k++) {
206         pn[0] += exp(pn[k]);
207     }
208     pn[0] = 1/pn[0];
209 //     fprintf(MGCCANL.OUT.FILE, "pn[%d]\t%e\n", 0, pn[0]);
210 //     calculate non-zero state probabilities
211     pn[0] = log(pn[0]);
212     for (k=1; k≤C; k++) {
213         pn[k] += pn[0];
214         pn[k] = exp(pn[k]);
215         fprintf(MGCCANL.OUT.FILE, "pn[%d]\t%20.18f\n", k, pn[k]);
216     }
217     pn[0] = exp(pn[0]);
218 //     compute blocking probability
219     pC = pn[C];
220 //
221 //     compute theta
222 //
223 //     method one
224 //     theta = pn[1]*service->Rate(1);
225 //     for (k=2; k≤C; k++) {
226 //         theta += k*pn[k]*service->Rate(k);
227 //     }
228 //     theta /= Ets1;
229 //     fprintf(MGCCANL.OUT.FILE, "\ttheta\t%20.18f\n", theta);
230 //
231 //     method two
232     theta = lambda.i*(1-pC);
233 //
234 //     compute expected number of customers
235 //
236     Eq = pn[1];
237     for (k=2; k≤C; k++) {
238         Eq += k*pn[k];
239     }
240 //
241 //     compute waiting time
242 //
243 //     method one
244 //     Ets = pn[1]/service->Rate(1);
245 //     for (k=2; k≤C; k++) {
246 //         Ets += pn[k]/service->Rate(k);
247 //     }

```

```

248 // Ets *= Ets1;
249 // fprintf(MGCCANL_OUT_FILE, "\tE(ts)\t%0.18f\n", Ets);
250 //
251 // method two
252 if (theta>MGCCANL_EPSILON) {
253     Ets = Eq/theta;
254 } else {
255     Ets = 0.0;
256 }
257 //
258 // compute lambda_h
259 //
260 lambda_h = lambda_i*pC;
261 // fprintf(MGCCANL_OUT_FILE, "\tlambda_h\t%0.18f\n", lambda_h);
262 //
263 // compute service rate at holding node
264 //
265 // approximate expected service rate at holding node
266 //
267 // method one
268 // Emu_i = pn[1]*service->Rate(1);
269 // for (k=2; k<=C; k++) {
270 //     Emu_i += k*pn[k]*service->Rate(k);
271 // }
272 // Emu_i /= Ets1;
273 // double VARTs_i = 1/(Emu_i*Emu_i);
274 // mu_h = 2*Emu_i/(1+Emu_i*Emu_i*VARTs_i);
275 // fprintf(MGCCANL_OUT_FILE, "\tEmu\t%0.18f\n", Emu_i);
276 // fprintf(MGCCANL_OUT_FILE, "\tmu_h\t%0.18f\n", mu_h);
277 //
278 // method two
279 // Emu_i = C/(Ets1/service->Rate(C));
280 // mu_h = Emu_i;
281 //
282 // determine holding node utilization
283 //
284 rho = lambda_i/mu_h;
285 //
286 // compute pCPrime
287 //
288 Cmax=C;
289 if (Cmax>50) Cmax=50;
290 pCPrime = 0.5;
291 it = 0;
292 // fprintf(MGCCANL_OUT_FILE, "it\t");
293 // fprintf(MGCCANL_OUT_FILE, "lambda\t");
294 // fprintf(MGCCANL_OUT_FILE, "z\t");
295 // fprintf(MGCCANL_OUT_FILE, "r1\t");
296 // fprintf(MGCCANL_OUT_FILE, "r2\t");
297 // fprintf(MGCCANL_OUT_FILE, "xn\t");
298 // fprintf(MGCCANL_OUT_FILE, "xd\t");
299 // fprintf(MGCCANL_OUT_FILE, "p(C)\n");
300 //*/
301 do {
302     pCPrimeOld=pCPrime;
303 // update lambda
304 lambda = theta - lambda_h*(1-pCPrime);
305 // update pjCjPrime
306 z = pow((lambda + Emu_i + mu_h), 2)-(4*lambda*mu_h);
307 r1 = ((lambda + Emu_i + mu_h)-sqrt(z))/(2*mu_h);
308 r2 = ((lambda + Emu_i + mu_h)+sqrt(z))/(2*mu_h);
309 xn = (pow(r2, Cmax)-pow(r1, Cmax))-(pow(r2, Cmax-1)-pow(r1, Cmax-1));
310 xd = (pow(r2, Cmax+1)-pow(r1, Cmax+1))-(pow(r2, Cmax)-pow(r1, Cmax));
311 pCPrime=1/((Emu_i+mu_h)/mu_h-(lambda*xn)/(mu_h*xd));
312 it++;
313 // fprintf(MGCCANL_OUT_FILE, "%d\t", it);
314 // fprintf(MGCCANL_OUT_FILE, "%f\t", lambda);
315 // fprintf(MGCCANL_OUT_FILE, "%f\t", z);
316 // fprintf(MGCCANL_OUT_FILE, "%f\t", r1);
317 // fprintf(MGCCANL_OUT_FILE, "%f\t", r2);
318 // fprintf(MGCCANL_OUT_FILE, "%f\t", xn);
319 // fprintf(MGCCANL_OUT_FILE, "%f\t", xd);
320 // fprintf(MGCCANL_OUT_FILE, "%f\n", pCPrime);
321 } while ((fabs(pCPrime-pCPrimeOld)>MGCCANL_EPSILON)&&(it <MGCCANL_MAX_IT));
322 //*/
323 // fprintf(MGCCANL_OUT_FILE, "\tp(C)\t%f\n", pCPrime);
324 // update mu_h
325 mu_h = mu_h*(1-pCPrime);
326 // fprintf(MGCCANL_OUT_FILE, "\tmu_h\t%0.18f\n", mu_h);
327 // print final results
328 // fprintf(MGCCANL_OUT_FILE, "\tp(C)\t%0.18f\n", pC);
329 // fprintf(MGCCANL_OUT_FILE, "\ttheta\t%0.18f\n", theta);
330 // fprintf(MGCCANL_OUT_FILE, "\tE(q)\t%0.18f\n", Eq);

```

```

331 // fprintf(MGCCANL_OUT_FILE, "\tE(ts)\t%20.18f\n", Ets);
332 status = MGCCANL_PREEVALUATED;
333 // free variables
334 delete [] pn;
335 }
336 void Mgcc::GetPerfMeasuresMMcc(double Ets1) {
337 #if MGCCSO_DEBUG
338 fprintf(MGCCANL_OUT_FILE, "Mgcc::GetPerfMeasuresMMcc(Ets1=%f):\n", Ets1);
339 #endif
340 double *pn, maxPn, ΔPn;
341 double gamma, beta, muk, V1, Va, Vb, l, w, a, b;
342 int C, k;
343 //
344 // compute blocking probability
345 //
346 // initializations
347 C = service->GetC();
348 pn = new double[C+1];
349 // calculate empty system probability p0 for node i
350 V1=1.5; l=Ets1*V1; w=C/(5*1); a=2*1*w; Va=0.64; b=4*1*w; Vb=0.25;
351 gamma=log(log(Va/V1)/log(Vb/V1))/log((a-1)/(b-1));
352 beta=(a-1)/pow(log(V1/Va),(1/gamma));
353 k=1;
354 muk = k*(V1/l)*(exp(-pow((k-1)/beta, gamma)));
355 // fprintf(MGCCANL_OUT_FILE, "gamma\t%f\tbeta\t%f\tmui\t%f\n", gamma, beta, mui);
356 pn[1] = log(lambda_i/muk);
357 // fprintf(MGCCANL_OUT_FILE, "pn[1]\t%20.18f\n", pn[1]);
358 for (k=2; k<=C; k++) {
359 muk = k*(V1/l)*(exp(-pow((k-1)/beta, gamma)));
360 pn[k] = pn[k-1] + log(lambda_i/muk);
361 // fprintf(MGCCANL_OUT_FILE, "pn[%d]\t%20.18f\n", k, pn[k]);
362 }
363 maxPn = -1;
364 for (k=1; k<=C; k++) {
365 if (pn[k]>maxPn) {
366 maxPn=pn[k];
367 }
368 }
369 if (maxPn>80) {
370 ΔPn = (maxPn-80);
371 // fprintf(MGCCANL_OUT_FILE, "(%e-80)\t%e\n", maxPn, ΔPn);
372 for (k=1; k<=C; k++) {
373 pn[k]-=ΔPn;
374 }
375 }
376 pn[0] = 1.0;
377 for (k=1; k<=C; k++) {
378 pn[0] += exp(pn[k]);
379 }
380 pn[0] = 1/pn[0];
381 pn[0] = log(pn[0]);
382 for (k=1; k<=C; k++) {
383 pn[k] += pn[0];
384 pn[k] = exp(pn[k]);
385 }
386 pn[0] = exp(pn[0]);
387 // compute blocking probability
388 pC = pn[C];
389 // compute theta
390 theta = lambda_i*(1-pC);
391 // compute expected number of customers
392 Eq = pn[1];
393 for (k=2; k<=C; k++) {
394 Eq += k*pn[k];
395 }
396 // compute waiting time
397 Ets = Eq/theta;
398 status = MGCCANL_PREEVALUATED;
399 // free variables
400 delete [] pn;
401 }
402 void Mgcc::ShowInput(void) {
403 #if MGCCSO_DEBUG
404 fprintf(MGCCANL_OUT_FILE, "Mgcc::ShowInput():\n" );
405 fprintf(MGCCANL_OUT_FILE, "\tExpected service time for lone occupant\t%f\n",
service->GetEts());
406 fprintf(MGCCANL_OUT_FILE, "\tCapacity\t%d\n", service->GetC());
407 fprintf(MGCCANL_OUT_FILE, "\tLambda\t%f\n", lambda0i);
408 #endif
409 fprintf(MGCCANL_OUT_FILE, "\tE(ts)\tC\tLambda\n");
410 fprintf(MGCCANL_OUT_FILE, "\t%.3f\t%.3f\n",
service->GetEts1(), service->GetC(), lambda0i);
411 }
412 }

```

```

414 void Mgcc::ShowPerfMeasures(void) {
415 #if MGCCSODEBUG
416     fprintf(MGCCANL_OUT_FILE, "Mgcc::ShowPerfMeasur:\n" );
417     fprintf(MGCCANL_OUT_FILE, "\tBlocking probability\t%f\n", pC );
418     fprintf(MGCCANL_OUT_FILE, "\tThroughput\t%f\n", theta );
419     fprintf(MGCCANL_OUT_FILE, "\tExpected number of customers\t%f\n", Eq );
420     fprintf(MGCCANL_OUT_FILE, "\tExpected service time\t%f\n", Ets );
421     fprintf(MGCCANL_OUT_FILE, "\tHolding node utilization\t%f\n", rho );
422     fprintf(MGCCANL_OUT_FILE, "\trho\tPn\tcustomers\ttheta\tEts\n");
423     fprintf(MGCCANL_OUT_FILE, "%f\t%f\t%f\t%f\t%f\n",
424             rho, pC, Eq, theta, Ets);
425     fprintf(MGCCANL_OUT_FILE, "p(C)\ttheta\tE(q)\tE(ts)\trho\n");
426     fprintf(MGCCANL_OUT_FILE, "%f\t%f\t%f\t%f\t%f\n", pC, theta, Eq, Ets, rho);
427 #endif
428     fprintf(MGCCANL_OUT_FILE, "\tp(C)\t%20.18f\n", pC);
429     fprintf(MGCCANL_OUT_FILE, "\ttheta\t%20.18f\n", theta);
430     fprintf(MGCCANL_OUT_FILE, "\tE(q)\t%20.18f\n", Eq);
431     fprintf(MGCCANL_OUT_FILE, "\tE(ts)\t%20.18f\n", Ets);
432 //     fprintf(MGCCANL_OUT_FILE, "\trho\t%f\n", rho);
433 //     fprintf(MGCCANL_OUT_FILE, "%f\t%f\t%f\t%f\t%f\t", pC, theta, Eq, Ets, rho);
434 }
435 void Mgcc::ShowAll(void) {
436 #if MGCCSODEBUG
437     fprintf(MGCCANL_OUT_FILE,
438             "E(ts)\tcp\tlambda\tp(C)\ttheta\tE(q)\tE(ts)\trho\n");
439 #endif
440     fprintf(MGCCANL_OUT_FILE, "%f %8d %f ", service->GetEts1(), service->GetC(), lambda0i);
441     fprintf(MGCCANL_OUT_FILE, "%f %f %f %f %f\n", pC, theta, Eq, Ets, rho);
442 }
443 MgccNet::MgccNet(void): nOfNodes(0), node(NULL), prevNode(NULL) {
444 #if MGCCSODEBUG
445     fprintf(MGCCANL_OUT_FILE, "MgccNet: Constructor()\n" );
446 #endif
447 }
448 MgccNet::~MgccNet(void) {
449 #if MGCCSODEBUG
450     fprintf(MGCCANL_OUT_FILE, "MgccNet::~MgccNet():\n" );
451     fprintf(MGCCANL_OUT_FILE, "\tFreeing memory\n" );
452 #endif
453     mgccNodeType *auxNode;
454     int i;
455     delete [] node;
456     for (i=0; i < nOfNodes; i++) {
457         while ( prevNode[i] != NULL ) {
458             auxNode = prevNode[i];
459             prevNode[i] = prevNode[i]->next;
460             delete [] auxNode;
461         }
462     }
463     delete [] prevNode;
464 };
465 int MgccNet::ReadData(FILE *inputFile) {
466 #if MGCCSODEBUG
467     fprintf(MGCCANL_OUT_FILE, "MgccNet::ReadData(FILE)\n" );
468 #endif
469     const int LLENGTH = 256;
470     char Line[LLENGTH];
471     int nNodes, idx, orig, dest;
472     float prob;
473     int i, serv;
474     float length, width, theLambda;
475     char servFileName[LLENGTH];
476     FILE *servFile;
477     CMLInUsr *lServ;
478     CMExpUsr *eServ;
479     /* read and set number of nodes */
480     fgets(Line, LLENGTH, inputFile);
481     fscanf(inputFile, "%d\n", &nNodes );
482 #if MGCCSODEBUG
483     fprintf(MGCCANL_OUT_FILE, "%d\n", nNodes);
484 #endif
485     SetNOFNodes(nNodes);
486     /* read arc related data */
487     fgets(Line, LLENGTH, inputFile);
488     while (fscanf(inputFile, "%d %d %d %f\n",
489                 &idx, &orig, &dest, &prob)==4) {
490 #if MGCCSODEBUG
491         fprintf(MGCCANL_OUT_FILE, "%d %d %d %f\n",
492                 idx, orig, dest, prob);
493 #endif
494         SetArc(orig, dest, prob, 0);
495         SetArc(orig, dest, prob, 1);
496         if (prob<=1.) {

```

```

497     ArcKT[iKT][0]= orig;
498     ArcKT[iKT][1]= dest;
499     iKT++;
500 }
501 }
502 /* read node number, service, length, width, and lambda */
503 fgets(Line, LLENGTH, inputFile);
504 for (i=0; i < nNodes; i++) {
505     fscanf(inputFile,
506           "%d %d %f %f %f\n", &idx,&serv,&length,&width,&theLambda);
507 #if MGCCSO.DEBUG
508     fprintf(MGCCANL.OUT_FILE,
509           "%d %d %f %f %f\n", idx, serv, length, width, theLambda);
510 #endif
511     // choose service
512     // get file name
513     int aux=0;
514     while ((servFileName[aux]=CMUSR_servFileName[aux])!='\0') aux++;
515     servFileName[10] = '0'+(serv/10)%10;
516     servFileName[11] = '0'+serv%10;
517     servFile = fopen(servFileName,"r");
518     if (servFile == NULL) {
519         fprintf(MGCCANL.ERR_FILE, "Error: service %d unknown\n", serv);
520         exit(1);
521     }
522     // get information
523 #if MGCCSO.DEBUG
524     fprintf(MGCCANL.OUT_FILE, "%s: current service file\n", servFileName);
525 #endif
526     fgets(Line, LLENGTH, servFile);
527     fscanf(servFile, "%lf\n", &CMUSR_maxDens);
528     fgets(Line, LLENGTH, servFile);
529     fscanf(servFile, "%lf\n", &CMUSR_maxSpeed);
530     if (fgets(Line, LLENGTH, servFile)==0) {
531         //
532         // linear service time
533         lServ = new CMLinUsr;
534         lServ->SetCorridor(length,width);
535         SetService(idx-1, lServ);
536 #if MGCCSO.DEBUG
537         fprintf(MGCCANL.OUT_FILE, "Linear queue: (%lf)\n", CMUSR_maxSpeed);
538 #endif
539     } else {
540         //
541         // exponential service time
542         fscanf(servFile, "%lf\n", &CMUSR_aDens);
543         fgets(Line, LLENGTH, servFile);
544         fscanf(servFile, "%lf\n", &CMUSR_bDens);
545         fgets(Line, LLENGTH, servFile);
546         fscanf(servFile, "%lf\n", &CMUSR_aSpeed);
547         fgets(Line, LLENGTH, servFile);
548         fscanf(servFile, "%lf\n", &CMUSR_bSpeed);
549         eServ = new CMEExpUsr;
550         eServ->SetCorridor(length,width);
551         SetService(idx-1, eServ);
552 #if MGCCSO.DEBUG
553         fprintf(MGCCANL.OUT_FILE, "Exponential type %d queue: (%lf;%lf;%lf)\n",
554               serv, CMUSR_maxSpeed, CMUSR_aSpeed, CMUSR_bSpeed);
555 #endif
556     }
557     fclose(servFile);
558     SetExtLambda(idx-1,theLambda);
559 #if MGCCSO.DEBUG
560     ShowInput(idx-1);
561     fprintf(MGCCANL.OUT_FILE, "\n");
562 #endif
563 }
564 return 0;
565 }
566 void MgccNet::Reset(void) {
567 #if MGCCSO.DEBUG
568     fprintf(MGCCANL.OUT_FILE, "MgccNet::Reset():\n" );
569 #endif
570     int i;
571     for (i=0; i<nOfNodes; i++) {
572         node[i].Reset();
573     }
574 }
575 void MgccNet::SetNOFNodes(int nNodes) {
576     int i, j,k;
577     /* get number of nodes and allocate them */
578     nOfNodes = nNodes;
579     /* create new nodes and mark all of them as not evaluated */
580     node = new Mgcc[nOfNodes];
581     prevNode = new mgccNodeType*[nOfNodes];

```

```

580     for (i=0; i<nOfNodes; i++) {
581         prevNode[i] = NULL;
582     }
583     /* for (i=0; i<nOfNodes; i++) {
584         prob[i] = new float[nOfNodes];
585         for (j=0; j<nOfNodes; j++) {
586             prob[i][j] = 0.0;
587         }
588     } */
589     prob = new float**[2];
590     for (i=0; i<2; i++)
591     {
592         prob[i] = new float*[nOfNodes];
593         for (j=0; j<nOfNodes; j++)
594         {
595             prob[i][j] = new float[nOfNodes];
596             for (k=0; k<nOfNodes; k++)
597             {
598                 prob[i][j][k] = 0.0;
599             }
600         }
601     }
602     Reset();
603 }
604 void MgccNet::SetArc(int origin, int dest, float theProb, int Individual) {
605 #if MGCCSO_DEBUG
606     fprintf(MGCCANL_OUT_FILE, "MgccNet::SetArc(int, int, float, int):\n");
607 #endif
608     mgccNodeType *auxNode;
609     auxNode = prevNode[dest-1];
610     while ((auxNode!=NULL) && (auxNode->index!=(origin-1))) {
611         auxNode = auxNode->next;
612     }
613     if (auxNode!=NULL) {
614         auxNode->prob = theProb;
615     } else {
616         auxNode = new mgccNodeType;
617         auxNode->index = origin-1;
618         auxNode->prob = theProb;
619         auxNode->next = prevNode[dest-1];
620         prevNode[dest-1] = auxNode;
621     }
622     prob[Individual][origin-1][dest-1] = theProb;
623     Reset();
624 }
625 void MgccNet::SetExtLambda(int nIndex, double theLambda) {
626     node[nIndex].SetExtLambda(theLambda);
627     Reset();
628 }
629 void MgccNet::SetService(int nIndex, CMGen *serv) {
630     node[nIndex].SetService(serv);
631     Reset();
632 }
633 void MgccNet::GetPerfMeasuresMMcc(void) {
634 #if MGCCSO_DEBUG
635     fprintf(MGCCANL_OUT_FILE, "MgccNet::GetPerfMeasuresMMcc(void):\n");
636 #endif
637     node[0].GetPerfMeasuresMMcc(node[0].service->GetEts1());
638 }
639 #ifndef MGCCANLIMPROVED
640 void MgccNet::GetPerfMeasures(int Individual) {
641 #if MGCCSO_DEBUG
642     fprintf(MGCCANL_OUT_FILE, "MgccNet::GetPerfMeasures(%d):\n", Individual+1);
643 #endif
644     int i;
645     Reset();
646     //
647     // pre-evaluate everybody
648     for (i=0; i<nOfNodes; i++) {
649         if (node[i].status != MGCCANL_PREEVALUATED) {
650             PreEvaluate(i, Individual);
651         }
652     }
653     //
654     // evaluate everybody
655     for (i=0; i<nOfNodes; i++) {
656         if (node[i].status != MGCCANL_EVALUATED) {
657             Evaluate(i, Individual);
658         }
659     }
660 }
661 void MgccNet::PreEvaluate(int nIndex, int Individual) {
662     int i;

```



```

663 node[nIndex].lambda_i = node[nIndex].lambda0i;
664 for (i=0; i<nOfNodes; i++) {
665     if (IsArc(i, nIndex, Individual)) {
666         if (node[i].status != MGCCANL_PRE-EVALUATED) {
667             PreEvaluate(i, Individual);
668         }
669         node[nIndex].lambda_i += prob[Individual][i][nIndex]*node[i].theta;
670     }
671 }
672 #if MGCCSO_DEBUG
673     fprintf(MGCCANL_OUT_FILE, "MgccNet::PreEvaluate(%d,%d):\n", nIndex+1, Individual+1);
674 #endif
675 node[nIndex].GetPerfMeasures(node[nIndex].service->GetEts1());
676 node[nIndex].status=MGCCANL_PRE-EVALUATED;
677 // node[nIndex].ShowPerfMeasures();
678 }
679 void MgccNet::Evaluate(int nIndex, int Individual) {
680     double Ets1, Ets1Inf, Ets1Sup, unassignedFlow;
681     int i, j, numPred, predLeft;
682     for (j=0; j<nOfNodes; j++) {
683         if (IsArc(nIndex, j, Individual)) {
684             if (node[j].status != MGCCANL_EVALUATED) {
685                 Evaluate(j, Individual);
686             }
687         }
688     }
689 #if MGCCSO_DEBUG
690     fprintf(MGCCANL_OUT_FILE, "MgccNet::Evaluate(%d,%d):\n", nIndex+1, Individual+1);
691 #endif
692 // fprintf(MGCCANL_OUT_FILE, "\teLambda\t%20.18f\n", node[nIndex].eLambda);
693 if ((node[nIndex].theta-node[nIndex].eLambda) > MGCCANL_EPSILON) {
694 //
695 //     if solution is infeasible then adjust theta
696 //
697 //     Bisection Method
698 //
699     Ets1Inf=node[nIndex].GetEts1();
700     Ets1Sup=Ets1Inf;
701     do {
702         Ets1Sup *= 2;
703         node[nIndex].GetPerfMeasures(Ets1Sup);
704 //         fprintf(MGCCANL_OUT_FILE, "theta(Ets1Sup=%f)\t%f\n",
705 //             Ets1Sup, node[nIndex].theta);
706     } while ((node[nIndex].theta-node[nIndex].eLambda) > MGCCANL_EPSILON);
707     Ets1Inf=Ets1Sup/2;
708 //     fprintf(MGCCANL_OUT_FILE, "[%f ; %f]\n", Ets1Inf, Ets1Sup);
709     do {
710         Ets1=(Ets1Inf+Ets1Sup)/2;
711         node[nIndex].GetPerfMeasures(Ets1);
712         if ((node[nIndex].theta-node[nIndex].eLambda) > MGCCANL_EPSILON) {
713             Ets1Inf=Ets1;
714         } else {
715             Ets1Sup=Ets1;
716         }
717 //         fprintf(MGCCANL_OUT_FILE, "[%f ; %f]\t", Ets1Inf, Ets1Sup);
718 //         fprintf(MGCCANL_OUT_FILE, "theta(%f)\t%f\n",
719 //             Ets1, node[nIndex].theta);
720     } while (fabs((node[nIndex].theta-node[nIndex].eLambda))>MGCCANL_EPSILON);
721 //     fprintf(MGCCANL_OUT_FILE, "E(ets1)\t%20.18f\n", Ets1);
722 }
723 node[nIndex].status = MGCCANL_EVALUATED;
724 // node[nIndex].ShowPerfMeasures();
725 //
726 //     propagate backwards information about new theta
727 //
728 numPred = 0;
729 for (i=0; i<nOfNodes; i++) {
730     if (prob[Individual][i][nIndex] > MGCCANL_EPSILON) {
731         numPred++;
732     }
733 }
734 if (numPred > 0) {
735     unassignedFlow=node[nIndex].theta;
736     while (unassignedFlow > MGCCANL_EPSILON) {
737         predLeft = numPred;
738         for (i=0; i<nOfNodes; i++) {
739             if (prob[Individual][i][nIndex] > MGCCANL_EPSILON) {
740                 if (node[i].eLambda == MGCCANL_INFINITY) {
741                     if (unassignedFlow/predLeft > node[i].theta) {
742                         node[i].eLambda = node[i].theta;
743                         unassignedFlow -= node[i].theta;
744                     } else {
745                         node[i].eLambda = unassignedFlow/predLeft;

```

```

746         unassignedFlow -= unassignedFlow/predLeft;
747     }
748     } else {
749     if ((node[i].eLambda+unassignedFlow/predLeft) > node[i].theta) {
750     unassignedFlow -= (node[i].theta-node[i].eLambda);
751     node[i].eLambda = node[i].theta;
752     } else {
753     node[i].eLambda += unassignedFlow/predLeft;
754     unassignedFlow -= unassignedFlow/predLeft;
755     }
756     } // if (node[i].eLambda == MGCCANL_INFINITY) {
757     predLeft--;
758     } // end if (prob[Individual][i][nIndex] > MGCCANL_EPSILON) {
759     } // end for
760     } // while (unassignedFlow > MGCCANL_EPSILON) {
761     } // if (numPred > 0) {
762 }
763 #endif MGCCANLIMPROVED
764 #ifdef MGCCANLIMPROVED
765 void MgccNet::GetPerfMeasures(int Individual) {
766 #if MGCCSO_DEBUG
767     fprintf(MGCCANL_OUT_FILE, "MgccNet::GetPerfMeasures(%d):\n", Individual);
768 #endif
769     int uneval, i, j, predec, succ;
770     Reset();
771     //
772     // pre-evaluate everybody
773     uneval=nOfNodes;
774     while (uneval>0) {
775         // for all nodes
776         for (j=0; j<nOfNodes; j++) {
777             if (node[j].status!=MGCCANL_PRE_EVALUATED) {
778                 predec=MGCCANL_PRE_EVALUATED;
779                 i=0;
780                 // confirm all predecessors were pre-evaluated
781                 while ((i<nOfNodes)&&(predec==MGCCANL_PRE_EVALUATED)) {
782                     if (IsArc(i, j, Individual))
783                         if (node[i].status!=MGCCANL_PRE_EVALUATED)
784                             predec=MGCCANL_NOT_EVALUATED;
785                     i++;
786                 }
787                 if (predec==MGCCANL_PRE_EVALUATED) {
788                     PreEvaluate(j, Individual);
789                     node[j].status=MGCCANL_PRE_EVALUATED;
790                     uneval--;
791                 }
792             }
793         }
794     }
795     //
796     // evaluate everybody
797     uneval=nOfNodes;
798     while (uneval>0) {
799         // for all nodes
800         for (i=0; i<nOfNodes; i++) {
801             if (node[i].status!=MGCCANL_EVALUATED) {
802                 succ=MGCCANL_EVALUATED;
803                 j=0;
804                 // confirm all successors were evaluated
805                 while ((j<nOfNodes)&&(succ==MGCCANL_EVALUATED)) {
806                     if (IsArc(i, j, Individual))
807                         if (node[j].status!=MGCCANL_EVALUATED)
808                             succ=MGCCANL_NOT_EVALUATED;
809                     j++;
810                 }
811                 if (succ==MGCCANL_EVALUATED) {
812                     Evaluate(i, Individual);
813                     node[i].status = MGCCANL_EVALUATED;
814                     uneval--;
815                 }
816             }
817         }
818     }
819 #if MGCCSO_DEBUG
820     int g, origin, dest;
821     for (g=0;g<iKT;g++) {
822         origin=ArcKT[g][0];
823         dest=ArcKT[g][1];
824         printf("prob[%d][%d][%d]=%f\t", Individual, origin, dest,
825             prob[Individual][origin-1][dest-1]);
826     }
827     printf("\n");
828 #endif

```

```

829 }
830 void MgccNet::PreEvaluate(int nIndex,int Individual) {
831 #if MGCCSO.DEBUG
832 fprintf(MGCCANL.OUT.FILE, "MgccNet::PreEvaluate(%d,%d):\n", nIndex+1,Individual+1);
833 #endif
834 int i;
835 node[nIndex].lambda_i = node[nIndex].lambda0i;
836 for (i=0; i<nOfNodes; i++)
837     if (IsArc(i,nIndex,Individual))
838         node[nIndex].lambda_i += prob[Individual][i][nIndex]*node[i].theta;
839 node[nIndex].GetPerfMeasures(node[nIndex].service->GetEts1());
840 // node[nIndex].ShowPerfMeasures();
841 }
842 void MgccNet::Evaluate(int nIndex,int Individual) {
843 #if MGCCSO.DEBUG
844 fprintf(MGCCANL.OUT.FILE, "MgccNet::Evaluate(%d,%d):\n", nIndex+1,Individual+1);
845 #endif
846 double Ets1, Ets1Inf, Ets1Sup, unassignedFlow;
847 int i, j, *idxPred, numPred, smallIdx, smallTheta, idxAux, unassigPred;
848 //
849 // if solution is infeasible then adjust theta
850 if ((node[nIndex].theta-node[nIndex].eLambda)>MGCCANL.EPSILON) {
851 // Bisection Method
852 Ets1Inf=node[nIndex].GetEts1();
853 Ets1Sup=Ets1Inf;
854 do {
855     Ets1Sup *= 2;
856     node[nIndex].GetPerfMeasures(Ets1Sup);
857     // fprintf(MGCCANL.OUT.FILE, "theta(Ets1Sup=%f)\t%f\n",
858     // Ets1Sup, node[nIndex].theta);
859 } while((node[nIndex].theta-node[nIndex].eLambda)>MGCCANL.EPSILON);
860 Ets1Inf=Ets1Sup/2;
861 // fprintf(MGCCANL.OUT.FILE, "[%f ; %f]\n", Ets1Inf, Ets1Sup);
862 do {
863     Ets1=(Ets1Inf+Ets1Sup)/2;
864     node[nIndex].GetPerfMeasures(Ets1);
865     if ((node[nIndex].theta-node[nIndex].eLambda) > MGCCANL.EPSILON) {
866         Ets1Inf=Ets1;
867     } else {
868         Ets1Sup=Ets1;
869     }
870     // fprintf(MGCCANL.OUT.FILE, "[%f ; %f]\t", Ets1Inf, Ets1Sup);
871     // fprintf(MGCCANL.OUT.FILE, "theta(%f)\t%f\n",
872     // Ets1, node[nIndex].theta);
873 } while (fabs((node[nIndex].theta-node[nIndex].eLambda))>MGCCANL.EPSILON);
874 // fprintf(MGCCANL.OUT.FILE, "E(ets1)\t%20.18f\n", Ets1);
875 } // end if
876 // node[nIndex].ShowPerfMeasures();
877 //
878 // backpropagate information about new theta to all predecessors
879 unassignedFlow=node[nIndex].theta;
880 // find number of predecessors
881 idxPred=new int[nOfNodes];
882 numPred=0;
883 for (i=0; i<nOfNodes; i++)
884     if (IsArc(i,nIndex,Individual)) {
885         idxPred[numPred]=i;
886         numPred++;
887     }
888 // fprintf(MGCCANL.OUT.FILE, "Predecessors\t");
889 // for (i=0; i<numPred; i++) fprintf(MGCCANL.OUT.FILE, "%d ", idxPred[i]+1);
890 // fprintf(MGCCANL.OUT.FILE, "\n");
891 // creat list of predecessors sorted by throughput
892 for (i=0; i<numPred; i++) {
893     // find smaller throughput
894     smallTheta=node[idxPred[i]].theta;
895     smallIdx=i;
896     for (j=i+1; j<numPred; j++) {
897         if (smallTheta>node[idxPred[j]].theta) {
898             smallTheta=node[idxPred[j]].theta;
899             smallIdx=j;
900         }
901     }
902     // exchange elements
903     idxAux=idxPred[i];
904     idxPred[i]=idxPred[smallIdx];
905     idxPred[smallIdx]=idxAux;
906 }
907 // fprintf(MGCCANL.OUT.FILE, "Predecessors sorted\t");
908 // for (i=0; i<numPred; i++) fprintf(MGCCANL.OUT.FILE, "%d ", idxPred[i]+1);
909 // fprintf(MGCCANL.OUT.FILE, "\n");
910 // update eLambdas
911 unassigPred=numPred;

```

```

912     for (i=0; i<numPred; i++) {
913         j=idxPred[i];
914         if (node[j].eLambda==MGCCANL_INFINITY) {
915             if (node[j].theta*prob[Individual][j][nIndex]<unassignedFlow/unassignPred) {
916                 node[j].eLambda = node[j].theta;
917                 unassignedFlow -= node[j].eLambda*prob[Individual][j][nIndex];
918             } else {
919                 node[j].eLambda = unassignedFlow/unassignPred/prob[Individual][j][nIndex];
920                 unassignedFlow -= node[j].eLambda*prob[Individual][j][nIndex];
921             }
922         } else if (node[j].eLambda*prob[Individual][j][nIndex]>unassignedFlow/unassignPred) {
923             node[j].eLambda -= (node[j].eLambda*prob[Individual][j][nIndex]-
924                 unassignedFlow/unassignPred);
925             unassignedFlow -= (node[j].eLambda*prob[Individual][j][nIndex]-
926                 unassignedFlow/unassignPred);
927         } else {
928             unassignedFlow -= node[j].eLambda*prob[Individual][j][nIndex];
929             // if (node[i].eLambda == MGCCANL_INFINITY) {
930             unassignPred--;
931             //     fprintf(MGCCANL_OUT_FILE, "Assigned to node %d\t%20.18f\n",
932             //         j+1, node[j].eLambda);
933             // } // end for (i=0; i<numPred; i++) {
934         }
935     } #endif MGCCANL_IMPROVED
936     void MgccNet::ShowInput(int nIndex) {
937     #if MGCCSO_DEBUG
938         fprintf(MGCCANL_OUT_FILE, "MgccNet::ShowInput(%d):\n", nIndex+1);
939     #endif
940         fprintf(MGCCANL_OUT_FILE, "Node\t%d\n", nIndex+1 );
941         node[nIndex].ShowInput();
942     }
943     void MgccNet::ShowPerfMeasures(void) {
944     #if MGCCSO_DEBUG
945         fprintf(MGCCANL_OUT_FILE, "MgccNet::ShowPerfMeasures():\n");
946     #endif
947         for (int i=0; i<nOfNodes; i++) {
948             fprintf(MGCCANL_OUT_FILE, "Node\t%d\n", i+1 );
949             node[i].ShowPerfMeasures();
950         }
951     }
952     void MgccNet::ShowPerfMeasures(int nIndex) {
953     #if MGCCSO_DEBUG
954         fprintf(MGCCANL_OUT_FILE, "MgccNet::ShowPerfMeasures(%d):\n", nIndex+1);
955     #endif
956         fprintf(MGCCANL_OUT_FILE, "Node\t%d\n", nIndex+1 );
957         node[nIndex].ShowPerfMeasures();
958     }
959     void MgccNet::ShowNet(void) {
960         fprintf(MGCCANL_OUT_FILE, "MgccNet::ShowNet():\n");
961         int i, aux;
962         mgccNodeType *auxNode;
963         fprintf(MGCCANL_OUT_FILE, "Nodes\n%d\n", nOfNodes );
964         fprintf(MGCCANL_OUT_FILE, "Arc\tOrig\tDest\tProb\n");
965         aux = 0;
966         for (i=0; i < nOfNodes; i++) {
967             auxNode = prevNode[i];
968             while (auxNode != NULL) {
969                 fprintf(MGCCANL_OUT_FILE, "%d\t%d\t%d\t%.3f\n",
970                     ++aux, auxNode->index+1, i+1, auxNode->prob);
971                 auxNode = auxNode->next;
972             }
973         }
974         for (i=0; i < nOfNodes; i++) {
975             fprintf(MGCCANL_OUT_FILE, "Node\t%d\n", i+1);
976             node[i].ShowInput();
977         }
978     }
979     void Mgcc::AggregatePerfMeasures(void) {
980     #if MGCCSO_DEBUG
981         fprintf(MGCCANL_OUT_FILE, "Mgcc::AggregatePerfMeasures():\n");
982     #endif
983         sumdl+=(theta*Ets);
984     };
985     void MgccNet::AggregatePerfMeasures() {
986     #if MGCCSO_DEBUG
987         fprintf(MGCCANL_OUT_FILE, "MgccNet::AggregatePerfMeasures():\n");
988     #endif
989         sumdl=0;
990         for (i=0; i<nOfNodes; i++) {
991             node[i].AggregatePerfMeasures();
992         }
993     #if MGCCSO_DEBUG

```

```
994     fprintf(MGCCANL_OUT_FILE, "sumd1=%f\n", sumd1);
995     #endif
996 }
997 #endif
```

# Apêndice B

## Arquivo de Definição dos Parâmetros do DE

Arquivo de Definição dos Parâmetros do DE B.1: DEpar.txt

```
1 NPi => determines the population size , good values or 2,10 or 20.
2 2
3 Generations => how long the DE algorithm can run at most
4 1000
5 F1, F2, F3, CR1, CR2, Kmin, Kmax => DE parameters
6 1
7 0.6
8 0.4
9 0.8
10 0.99
11 0.99
12 0
13 Scheme => DE scheme ( values 1,2 or 3)
14 1
15 Precision => the lower this value , the longer the algorithm will search and
    the higher the quality of the solution
16 0.0000001
```

# Apêndice C

## Arquivo de Definição dos Serviços

Arquivo de Definição dos Serviços C.1: mgcc-serv-06.txt

```
1 CMUSR_maxDens
2 200.0
3 CMUSR_maxSpeed
4 25.0
5 CMUSR_aDens
6 20.0
7 CMUSR_bDens
8 140.0
9 CMUSR_aSpeed
10 23.0
11 CMUSR_bSpeed
12 10.0
```

Arquivo de Definição dos Serviços C.2: mgcc-serv-07.txt

```
1 CMUSR_maxDens
2 200.0
3 CMUSR_maxSpeed
4 20.0
5 CMUSR_aDens
6 20.0
7 CMUSR_bDens
8 140.0
9 CMUSR_aSpeed
10 18.0
11 CMUSR_bSpeed
12 6.0
```

# Apêndice D

## Arquivo de Entrada

Arquivo de entrada D.1: 3node-L0500.txt

```
1 Nodes
2 3
3 Arc Origin Destination Probability
4 1 1 2 0.5
5 2 1 3 0.5
6 Node Service Length Width Lambda
7 1 6 0.80 5.0 500.0
8 2 7 2.50 2.0 0.000
9 3 7 1.85 2.0 0.000
10 Exit Nodes
11 1
12 2
13 3
```